



Corso di Visione Artificiale

Laurea Magistrale in Informatica (F94)

Docenti:

Raffaella Lanzarotti

Federico Pedersini

*Dipartimento di Informatica
Università degli Studi di Milano*



Estrazione e localizzazione di "features" da immagini (features extraction)

- ❖ **Estrazione di contorni**
 - Gradiente dell'immagine
 - Estrazione di contorni (edge detection)

- ❖ **Localizzazione di punti significativi**
 - Operatore di Harris
 - Estrazione di features invarianti – SIFT

(Forsyth/Ponce: Capitolo 5)

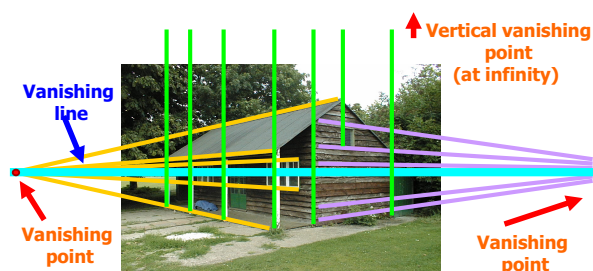
Perché i contorni (edges) sono importanti?

- ❖ Informazioni salienti in una scena, fondamentali per riconoscere oggetti
 - *Early vision* [Poggio, Marr]: il cervello 'estrae' i contorni principali dalla scena osservata
- ❖ Localizzazione precisa → portatori di informazioni geometriche preziose
 - Contorni → ingombri
 - Linee di fuga → prospettiva



Applicazioni:

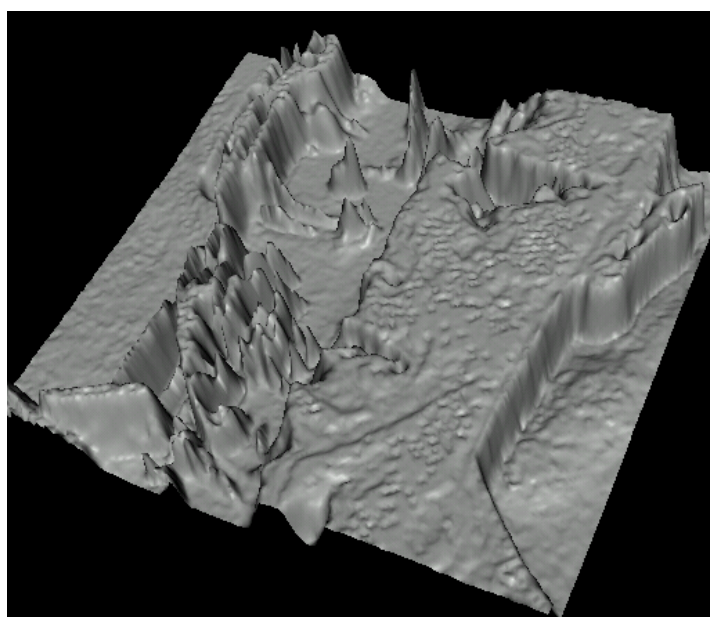
- ❖ Object recognition
- ❖ Camera calibration
- ❖ 3D reconstruction



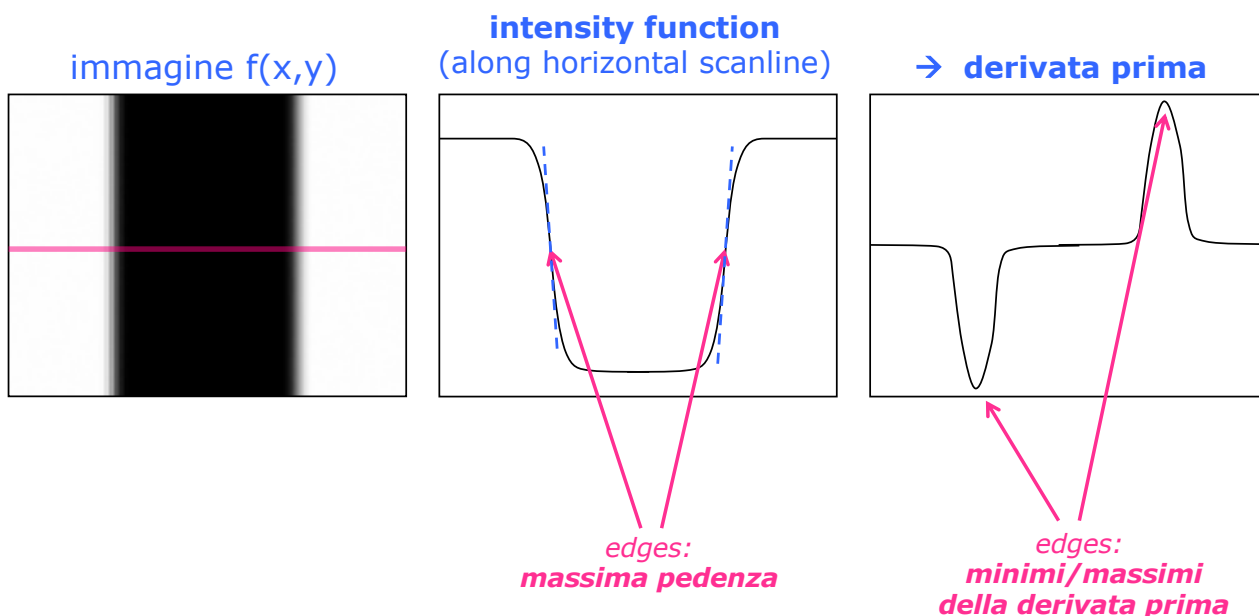
source: J. Hayes

Image gradient

Contorno → brusco salto di luminanza



Contorno → brusco salto di luminanza



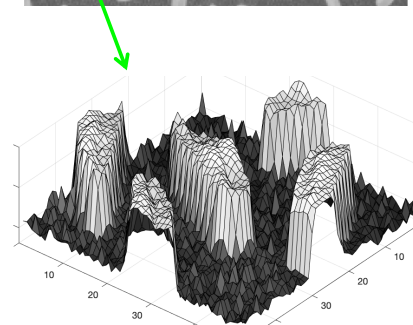
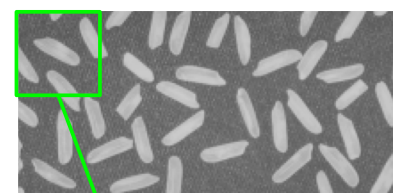
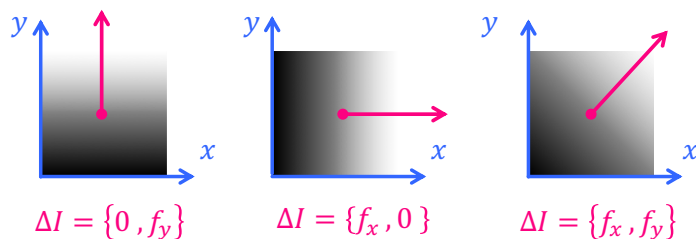
Source: L. Lazebnik
Slide credits: N. Snavely

Derivata prima in 2D → gradiente dell'immagine

$$\nabla I(x, y) = \overrightarrow{G(x, y)} = \left\{ \frac{\partial I}{\partial x}, \frac{\partial I}{\partial y} \right\}$$

- ❖ **Gradiente = "vettore-pendenza"**
 - **direzione:** massima pendenza (a salire) della funzione $I(x, y)$
 - **modulo:** proporzionale alla pendenza

$$\nabla f(x, y) = \begin{bmatrix} \frac{\partial f(x, y)}{\partial x} \\ \frac{\partial f(x, y)}{\partial y} \end{bmatrix} = \begin{bmatrix} f_x \\ f_y \end{bmatrix} \quad \begin{aligned} |\nabla f(x, y)| &= \sqrt{f_x^2 + f_y^2} \\ \theta &= \tan^{-1} \left(\frac{\partial f / \partial y}{\partial f / \partial x} \right) \end{aligned}$$





Come calcolare il gradiente di un'immagine?

Immagine **campionata** $I(i,j)$: dominio spaziale (i,j) discreto

→ derivata = **differenze finite**

Derivata **orizzontale**: $f_x(i,j) = \frac{\partial f(i,j)}{\partial i} \approx \frac{f(i+1,j) - f(i-1,j)}{2} = f * d_x(i,j)$

$$d_x(i,j) = \begin{bmatrix} -1 & 0 & 1 \end{bmatrix}$$

Derivata **verticale**: $f_y(i,j) = \frac{\partial f(i,j)}{\partial j} \approx \frac{f(i,j+1) - f(i,j-1)}{2} = f * d_y(i,j)$

$$d_y(i,j) = \begin{bmatrix} -1 \\ 0 \\ 1 \end{bmatrix}$$

Operatori tipici:

Prewitt

$$P_y(i,j) = \begin{bmatrix} -1 & -1 & -1 \\ 0 & 0 & 0 \\ 1 & 1 & 1 \end{bmatrix}$$

$P_y(i,j)$

$$P_x(i,j) = \begin{bmatrix} -1 & 0 & 1 \\ -1 & 0 & 1 \\ -1 & 0 & 1 \end{bmatrix}$$

$P_x(i,j)$

Sobel

$$S_y(i,j) = \begin{bmatrix} -1 & -2 & -1 \\ 0 & 0 & 0 \\ 1 & 2 & 1 \end{bmatrix}$$

$S_y(i,j)$

$$S_x(i,j) = \begin{bmatrix} -1 & 0 & 1 \\ -2 & 0 & 2 \\ -1 & 0 & 1 \end{bmatrix}$$

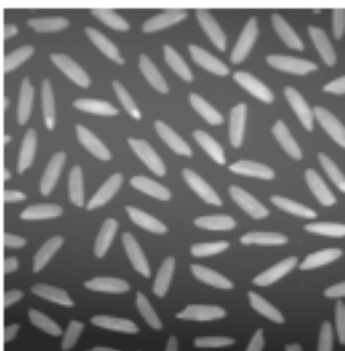
$S_x(i,j)$



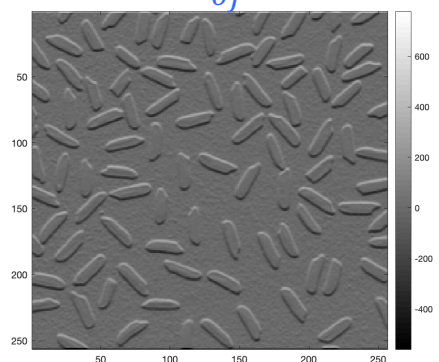
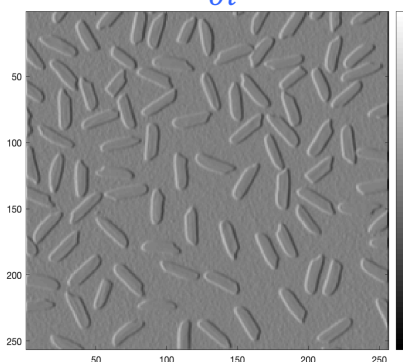
Sobel: esempio

$$f_x(i,j) = \frac{\partial f(i,j)}{\partial i} = f * S_x$$

$$f_y(i,j) = \frac{\partial f(i,j)}{\partial j} = f * S_y$$



$f(i,j)$

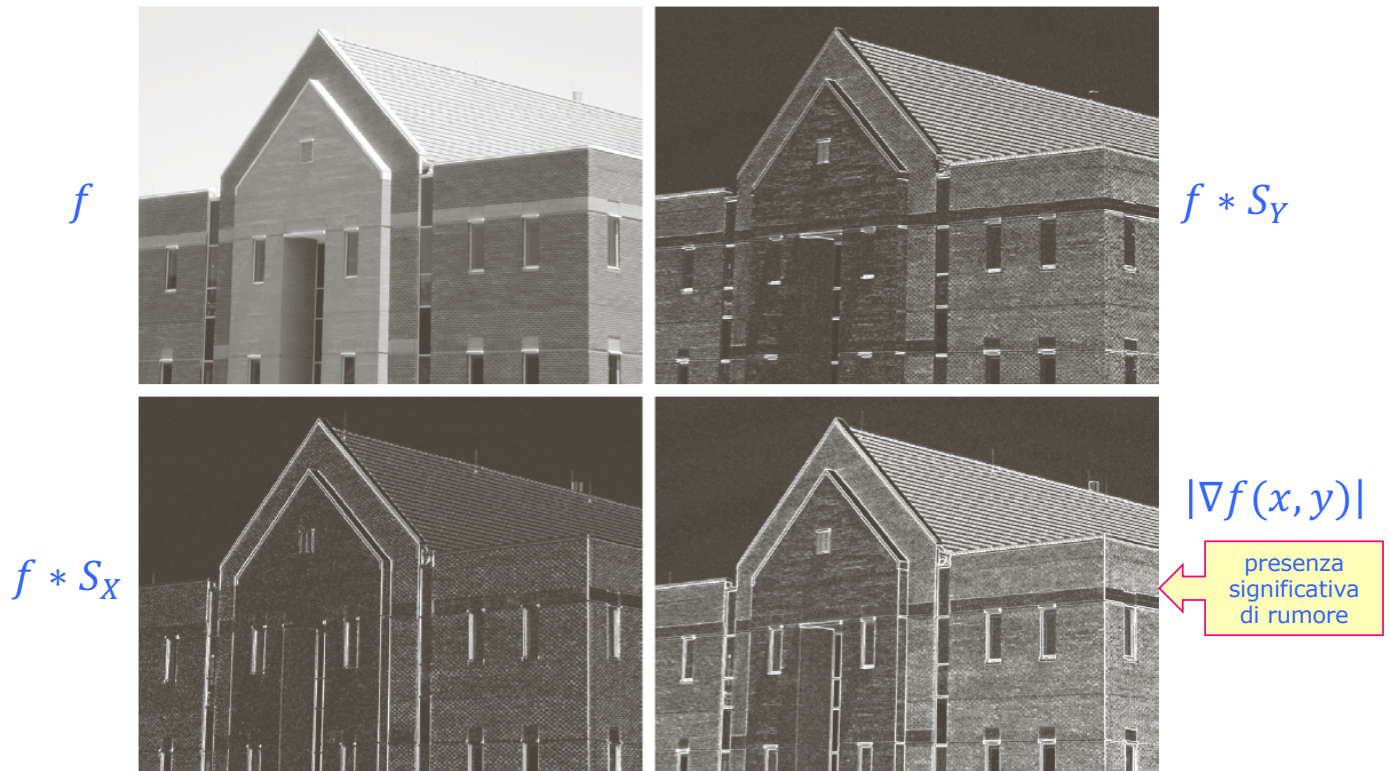


Modulo del gradiente:

$$|\nabla f(x,y)| = \sqrt{f_x^2(i,j) + f_y^2(i,j)}$$



Operatore di Sobel:



Operatore di Sobel:
Selezione edges significativi

Approccio possibile: soglia minima sul valore del modulo

❖ es: mantengo il 33% degli edges con il modulo più alto



→ perdo anche edges significativi

Problema: **il gradiente è sensibile al rumore**

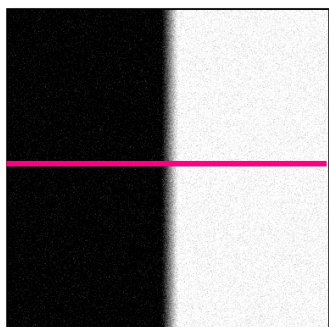
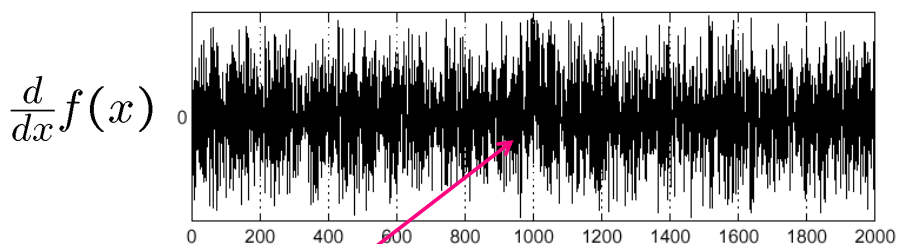
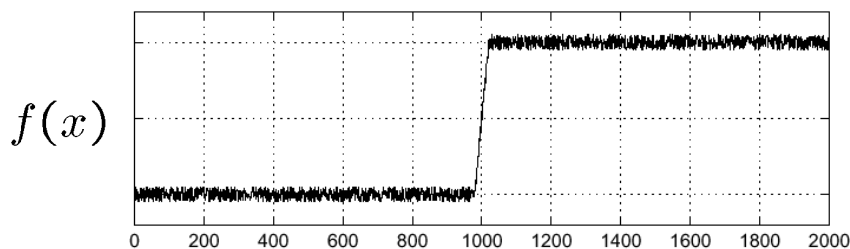


Immagine rumorosa



Dov'è l'edge?

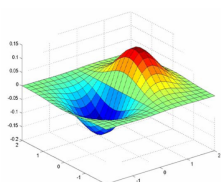
Source: S. Seitz

Edge detection

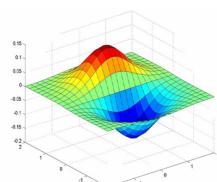
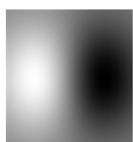
Edge detection con filtraggio gaussiano

1. Filtraggio gaussiano (σ) $\rightarrow f(i, j) = I(i, j) * G(i, j)$
2. Calcolo derivate orizzontale / verticale $\rightarrow f_x(i, j) = \frac{\partial f(i, j)}{\partial i}$; $f_y(i, j) = \frac{\partial f(i, j)}{\partial j}$
3. Calcolo modulo del vettore gradiente $\rightarrow |\nabla f(i, j)| = \sqrt{f_x^2(i, j) + f_y^2(i, j)}$

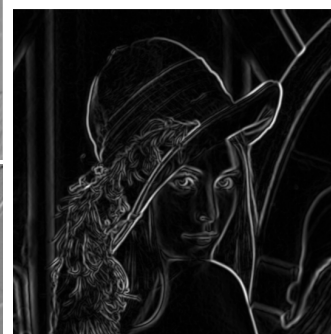
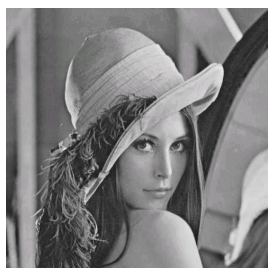
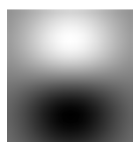
DoG
(derivative of gaussian)

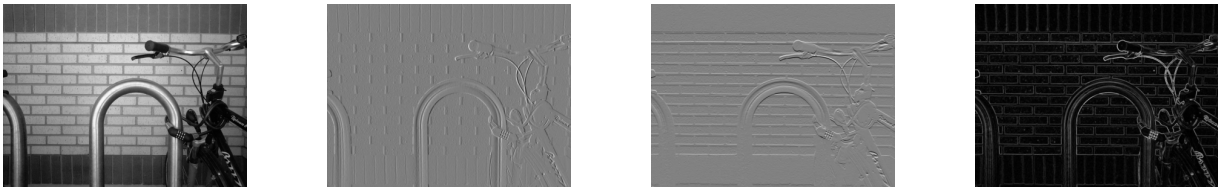


x-direction



y-direction





- ❖ Immagine: $I(x, y)$
- ❖ derivata orizzontale:
 $I_x(x, y) = I(x, y) * S_x$
- ❖ derivata verticale:
 $I_y(x, y) = I(x, y) * S_y$
- ❖ Gradient magnitude:
 $|\nabla I(x, y)| = \sqrt{I_x^2 + I_y^2}$



Source: Wikipedia – slide credits: N. Snavely

Localizzazione dei contorni



Localizzazione del contorno

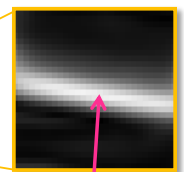
La posizione **esatta** del contorno: la **cresta del modulo del gradiente**



original image



modulo del gradiente



dov'è esattamente l'edge?

Image credit: Joseph Redmon

Edge: la **cresta** del modulo del gradiente:

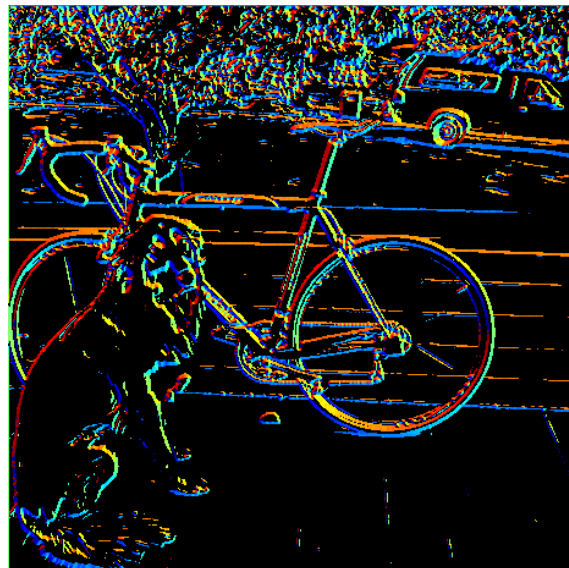
- ❖ punto di **massimo locale** del **modulo** del gradiente...
...lungo la **direzione locale** del vettore gradiente

$$|\nabla I(x, y)| = \sqrt{f_x^2 + f_y^2}$$

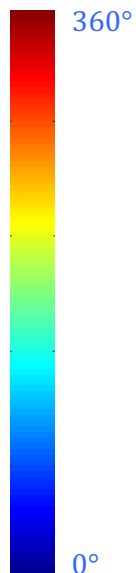
$$\vartheta = \angle \nabla I(x, y) = \text{atan2}(f_x, f_y)$$



modulo



direzione



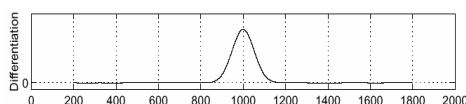
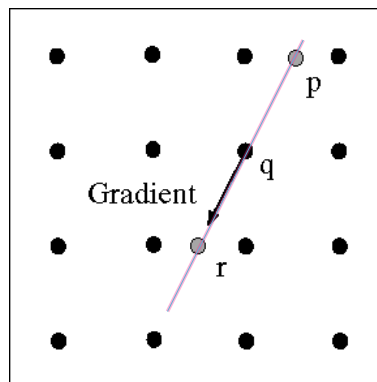
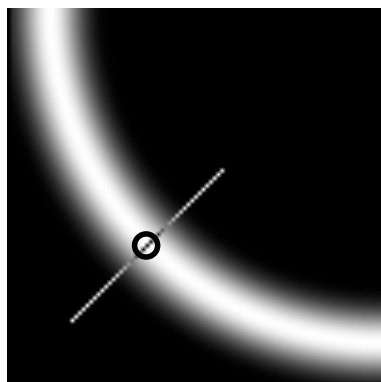
Non-maxima suppression

Procedura di determinazione del punto di massimo (sulla cresta del gradiente):

Non-maxima suppression:

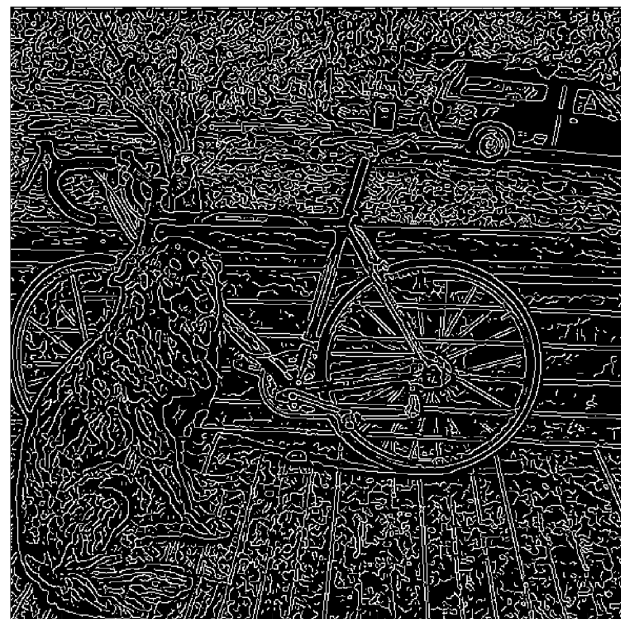
- ❖ Check if pixel **q** is local maximum along gradient direction
 - requires interpolating pixels **p** and **r**

if $|\nabla f(\mathbf{q})| > |\nabla f(\mathbf{p})|$ and $|\nabla f(\mathbf{q})| > |\nabla f(\mathbf{r})|$ then $\mathbf{q} \in \{\text{Edges}\}$





modulo del gradiente



punti di massimo

Sogliatura dei contorni

Sensibilità ai massimi dovuti a rumore

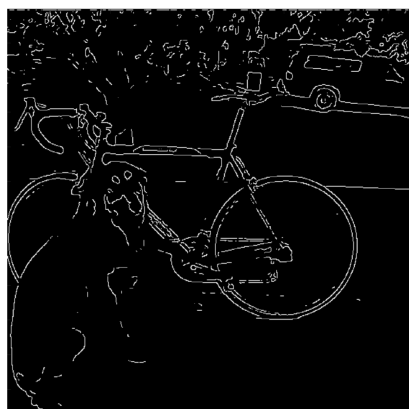
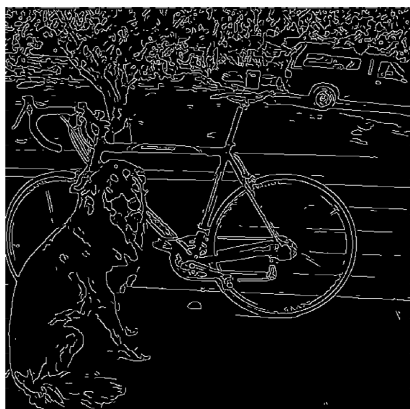
→ **Sogliatura**

seleziono soltanto i punti di massimo del modulo, se superiore a una soglia T

$$(x, y) \in \{\text{Edges}\} \leftrightarrow |\nabla I(x, y)|_{MAX} > T$$

Problema:

- ❖ soglia **bassa** → presenza edges non significativi (rumore)
- ❖ soglia **alta** → assenza edges significativi



Soluzione: **Isteresi** → utilizzo **due soglie**: T_{low} , T_{high}

❖ *Seleziono un punto di edge se il modulo è:*

- superiore alla soglia T_{high} oppure
- superiore alla soglia T_{low} ma vicino a un edge

$$(x, y) \in \{E\} \text{ sse: } |\nabla I(x, y)|_{MAX} > T_{high} \text{ oppure } \begin{cases} |\nabla I(x, y)|_{MAX} > T_{low} \\ \exists p \in N(x, y): p \in \{E\} \end{cases}$$



Canny edge detector

Edge detection: metodo di Canny

1. *Filtraggio gaussiano (σ) → calcolo derivate h/v → f_x, f_y*
2. *Calcolo gradiente (modulo, direzione)*
3. *Non-maxima suppression*
4. *Sogliatura con isteresi (2 soglie)*
 - *Define two thresholds: low and high*
 - *Use the high threshold to start edge curves and the low threshold to continue them*

J. Canny (1986),
A Computational Approach To Edge Detection,
IEEE Trans. Pattern Analysis and Machine Intelligence,
8:679-714, 1986.

MATLAB: `edge_image = edge(image, 'canny');`

Proprietà:

- ❖ *Tuttora lo standard per edge detection*
- ❖ *Prestazioni dipendenti dalla scelta dei parametri:*
 - σ del filtraggio gaussiano (*scala*)
 - soglie alta e bassa: T_{low} ; T_{high}

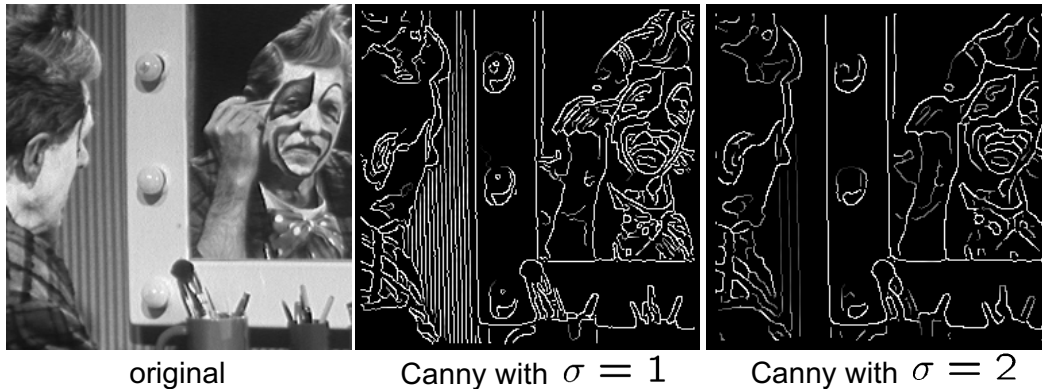
Demo on web: <http://bigwww.epfl.ch/demo/ip/demos/edgeDetector/>

Edge detection: metodo di Canny

Scelta della scala (σ)

La scelta ottima della scala σ dipende dal comportamento desiderato:

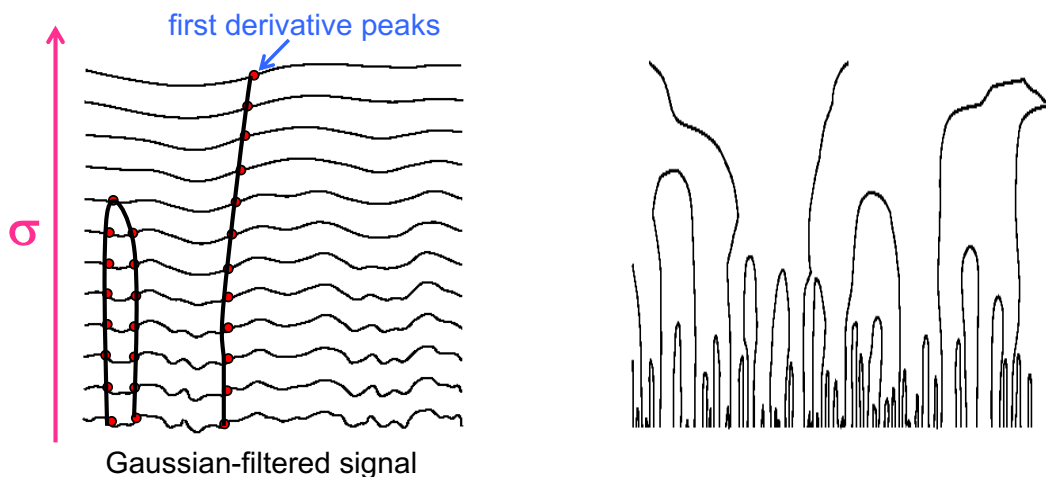
- ❖ σ grande: edge di oggetti a "larga scala"
- ❖ σ piccolo: edge di oggetti a "piccola scala"



Source: S. Seitz

Scale space

- ❖ Properties of scale space
 - edge position may shift with increasing scale (σ)
 - two edges may merge with increasing scale
 - an edge may **not** split into two with increasing scale
- ❖ **Multi-scale edge detection (edge focusing)** [Bergholm, 1987]
 1. determino gli **edges significativi** a valori alti di scala (σ alta)
 2. riduco progressivamente la scala e inseguo la **posizione accurata** degli edges



Estrazione e localizzazione di "features" da immagini (features extraction)

- ❖ Estrazione di contorni
 - Gradiente dell'immagine
 - Estrazione di contorni (edge detection)
- ❖ Localizzazione di punti significativi
 - Operatore di Harris
 - Estrazione di features invarianti – SIFT

(Forsyth/Ponce: Capitolo 5)

Slide credits: varie sorgenti (citare)

Localizzabilità di una feature



Feature:

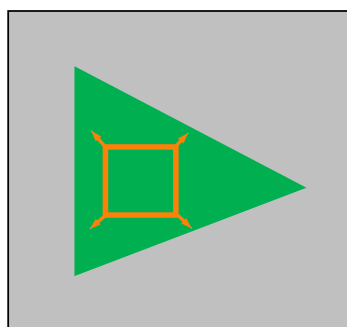
particolare di un'immagine localizzabile senza ambiguità e con precisione

Localizzabilità di una 'feature':

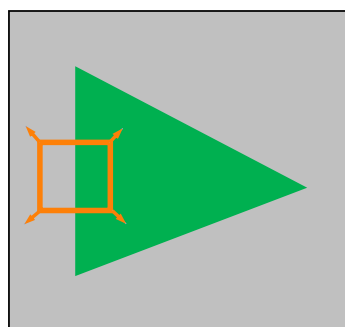
- ❖ *Come cambia l'immagine nella finestra (feature), spostandola?*

Principio di localizzazione: ogni spostamento, in qualunque direzione, per poter essere rilevato, deve causare un cambiamento dell'immagine nella finestra

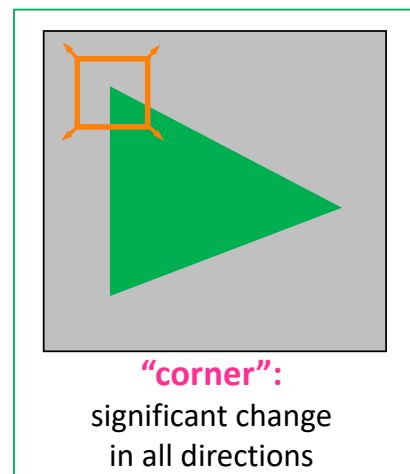
casi possibili:



"flat" region:
no change in all directions



"edge":
no change along the edge direction



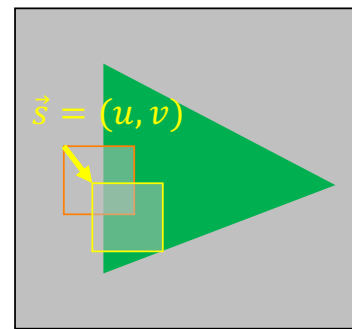
"corner":
significant change in all directions



Misura dell'errore di localizzazione

Consideriamo uno spostamento $\vec{s} = (u, v)$ della finestra W

- ❖ *Quanto cambia l'immagine in W ?*



Misura del cambiamento:

- ❖ Confronto, pixel a pixel, i pixel della finestra W prima e dopo lo spostamento \vec{s}
- ❖ Sommo i quadrati delle differenze tra pixel (*Sum of Squared Differences - SSD*)

Definisco **l'errore SSD**: $E(u, v)$

- ❖ Dato lo spostamento $\vec{s} = (u, v)$:

$$E(u, v) = \sum_{(x,y) \in W} [I(x + u, y + v) - I(x, y)]^2$$

Slide credits: Noah Snavely

Small motion assumption



SSD Error:
$$E(u, v) = \sum_{(x,y) \in W} [I(x + u, y + v) - I(x, y)]^2$$

Approssimo $I(x + u, y + v)$ mediante lo sviluppo in serie di Taylor:

$$I(x + u, y + v) = I(x, y) + \frac{\partial I}{\partial x} u + \frac{\partial I}{\partial y} v + \{\text{termini di ordine sup.}\}$$

"If the motion (u, v) is small (*small motion assumption*), then the *first-order approximation* is good enough"

$$I(x + u, y + v) \approx I(x, y) + \frac{\partial I}{\partial x} u + \frac{\partial I}{\partial y} v = I(x, y) + [I_x \quad I_y] \begin{bmatrix} u \\ v \end{bmatrix}$$

$$\text{dove: } I_x = \frac{\partial I}{\partial x}; \quad I_y = \frac{\partial I}{\partial y}$$

Sostituendo nella formula di $E(x, y)$ ottengo...

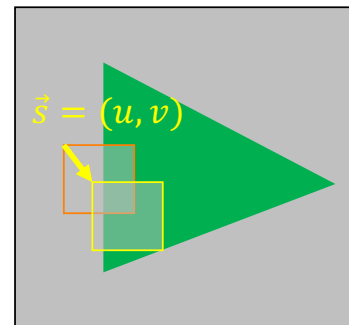
Slide credits: Noah Snavely



misura dell'errore di localizzazione (cont.)

Consideriamo uno spostamento $\vec{s} = (u, v)$ della finestra W

❖ Quanto cambia l'immagine in W ?



$$I(x + u, y + v) \approx I(x, y) + I_x u + I_y v$$

$$\begin{aligned} E(u, v) &= \sum_{(x,y) \in W} [I(x + u, y + v) - I(x, y)]^2 \\ &\approx \sum_{(x,y) \in W} [I(x, y) + I_x u + I_y v - I(x, y)]^2 \\ &\approx \sum_{(x,y) \in W} [I_x u + I_y v]^2 \end{aligned}$$

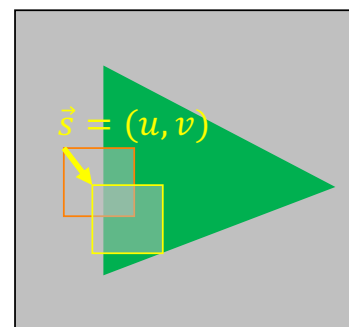
Slide credits: Noah Snavely



Misura dell'errore di localizzazione

Consideriamo uno spostamento $\vec{s} = (u, v)$ della finestra W

❖ Quanto cambia l'immagine in W ?



$$\begin{aligned} E(u, v) &\approx \sum_{(x,y) \in W} [I_x u + I_y v]^2 \\ &\approx Au^2 + 2Buv + Cv^2 \end{aligned}$$

$$A = \sum_{(x,y) \in W} I_x^2 \quad B = \sum_{(x,y) \in W} I_x I_y \quad C = \sum_{(x,y) \in W} I_y^2$$

→ $E(u, v)$ approssimato localmente da una forma quadratica

Slide credits: Noah Snavely



$E(u, v)$ approssimato localmente da una forma quadratica

$$E(u, v) \approx Au^2 + 2Buv + Cv^2$$

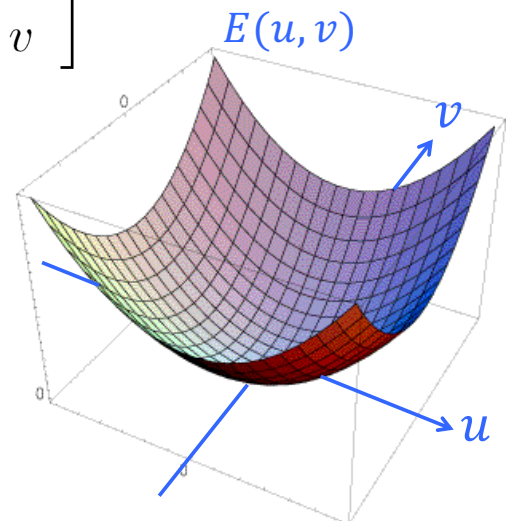
$$\approx \begin{bmatrix} u & v \end{bmatrix} \underbrace{\begin{bmatrix} A & B \\ B & C \end{bmatrix}}_H \begin{bmatrix} u \\ v \end{bmatrix}$$

$$A = \sum_{(x,y) \in W} I_x^2$$

$$B = \sum_{(x,y) \in W} I_x I_y$$

$$C = \sum_{(x,y) \in W} I_y^2$$

H: second moment matrix



Let's try to understand its shape

Slide credits: Noah Snively

The second moment matrix: horizontal edge



$$E(u, v) \approx \begin{bmatrix} u & v \end{bmatrix} \underbrace{\begin{bmatrix} A & B \\ B & C \end{bmatrix}}_H \begin{bmatrix} u \\ v \end{bmatrix}$$

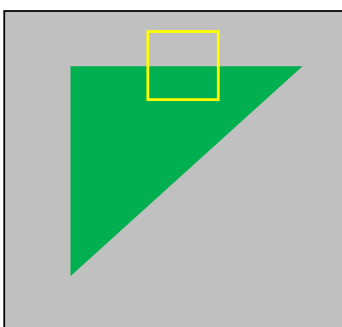
$$A = \sum_{(x,y) \in W} I_x^2$$

$$B = \sum_{(x,y) \in W} I_x I_y$$

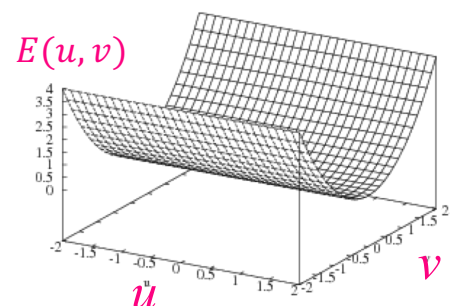
$$C = \sum_{(x,y) \in W} I_y^2$$

Esempio:

❖ **edge orizzontale** → $I_x = 0$



$$H = \begin{bmatrix} 0 & 0 \\ 0 & C \end{bmatrix}$$





$$E(u, v) \approx \begin{bmatrix} u & v \end{bmatrix} \underbrace{\begin{bmatrix} A & B \\ B & C \end{bmatrix}}_H \begin{bmatrix} u \\ v \end{bmatrix}$$

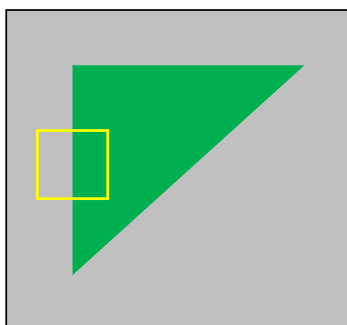
$$A = \sum_{(x,y) \in W} I_x^2$$

$$B = \sum_{(x,y) \in W} I_x I_y$$

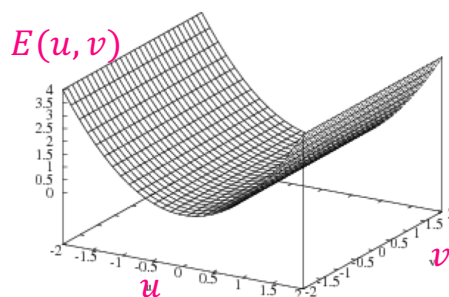
$$C = \sum_{(x,y) \in W} I_y^2$$

Esempio:

❖ **edge verticale** → $I_y = 0$



$$H = \begin{bmatrix} A & 0 \\ 0 & 0 \end{bmatrix}$$



$$E(u, v) \approx \begin{bmatrix} u & v \end{bmatrix} \begin{bmatrix} A & B \\ B & C \end{bmatrix} \begin{bmatrix} u \\ v \end{bmatrix}$$

$$A = \sum_{(x,y) \in W} I_x^2 \quad B = \sum_{(x,y) \in W} I_x I_y \quad C = \sum_{(x,y) \in W} I_y^2$$

L'equazione: $\begin{bmatrix} u & v \end{bmatrix} H \begin{bmatrix} u \\ v \end{bmatrix} = \text{const}$ è un'ellisse

$\lambda_{\max}, \lambda_{\min}$:
eigenvalues of H

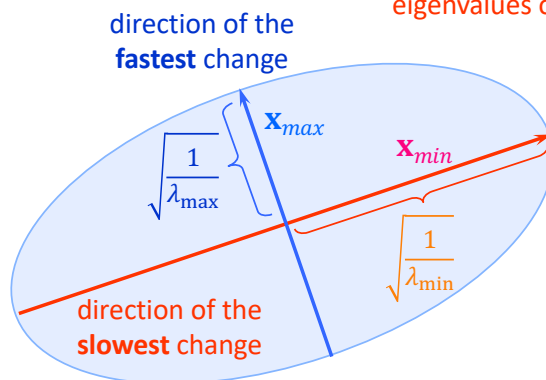
Autovalori/autovettori di H

$$H \cdot \mathbf{x} = \lambda \mathbf{x} \rightarrow \lambda_1, \lambda_2$$

$$\mathbf{x}_1, \mathbf{x}_2$$

$$\rightarrow H \cdot \mathbf{x}_{\min} = \lambda_{\min} \mathbf{x}_{\min}$$

$$H \cdot \mathbf{x}_{\max} = \lambda_{\max} \mathbf{x}_{\max}$$



We can visualize H as an ellipse with:

- ❖ axis lengths determined by the eigenvalues of H and
- ❖ orientation determined by the eigenvectors of H

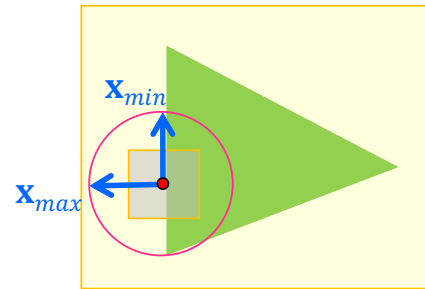
Slide credits: Noah Snavely



$$E(u, v) \approx \begin{bmatrix} u & v \end{bmatrix} \begin{bmatrix} A & B \\ B & C \end{bmatrix} \begin{bmatrix} u \\ v \end{bmatrix} \quad A = \sum_{(x,y) \in W} I_x^2 \quad B = \sum_{(x,y) \in W} I_x I_y \quad C = \sum_{(x,y) \in W} I_y^2$$

Autovalori/autovettori e localizzabilità:

$$\begin{aligned} \rightarrow \quad H \cdot \mathbf{x}_{min} &= \lambda_{min} \mathbf{x}_{min} \\ H \cdot \mathbf{x}_{max} &= \lambda_{max} \mathbf{x}_{max} \end{aligned}$$



Gli autovalori e gli autovettori di H definiscono le direzioni di spostamento caratterizzate dalla massima ($\lambda_{max}, \mathbf{x}_{max}$) e minima ($\lambda_{min}, \mathbf{x}_{min}$) variazione dell'errore di localizzazione $E(x, y)$

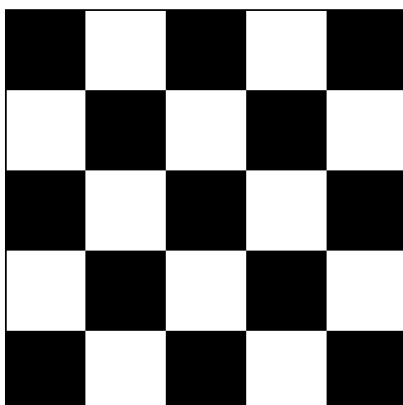
- ❖ \mathbf{x}_{max} = direzione di massimo incremento di $E(x, y)$
- ❖ λ_{max} = velocità di incremento di $E(x, y)$ in direzione \mathbf{x}_{max}
- ❖ \mathbf{x}_{min} = direzione di minimo incremento di $E(x, y)$
- ❖ λ_{min} = velocità di incremento di $E(x, y)$ in direzione \mathbf{x}_{min}

Slide credits: Noah Snavely

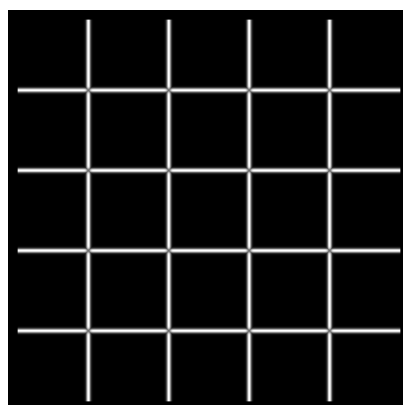
Corner detection



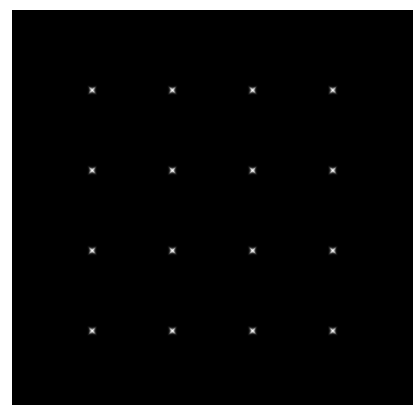
- ❖ Perché $\lambda_{max}, \mathbf{x}_{max}, \lambda_{min},$ and \mathbf{x}_{min} sono rilevanti per la feature detection?
 - qual è il nostro obiettivo? **localizzabilità**
- ➔ $E(u, v)$ deve essere grande in tutte le direzioni
 - il minimo di $E(u, v)$ deve essere grande, per tutti i vettori $[u \ v]$
 - tale minimo coincide con l'autovalore minore di H , λ_{min}



$I(i, j)$



$\lambda_{max}(i, j)$



$\lambda_{min}(i, j)$

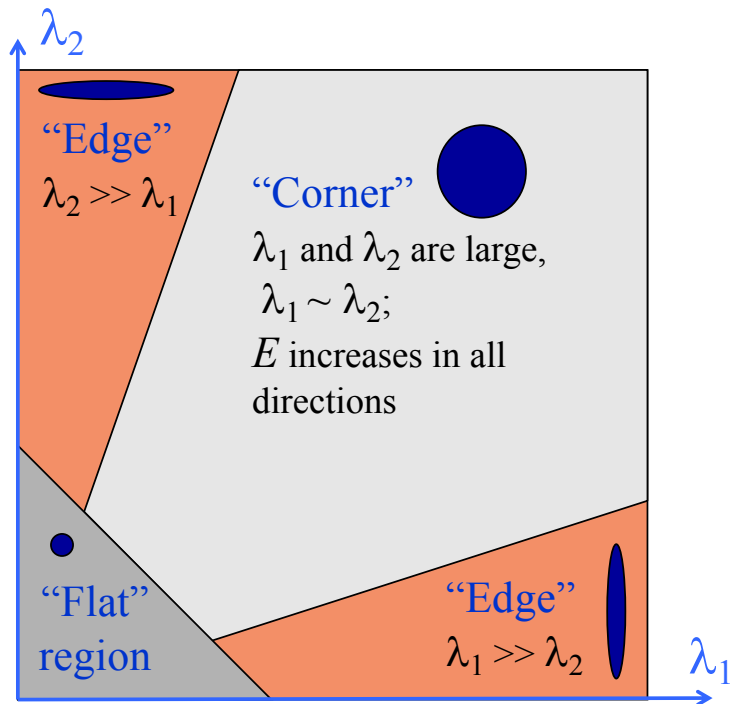


Classification of image points using **eigenvalues of H** :

$$\mathbf{H} \cdot \mathbf{x} = \lambda \mathbf{x} \rightarrow \lambda_1, \lambda_2$$

Matlab: `L = eig(H);`

λ_1 and λ_2 are small;
 E is almost constant
in all directions



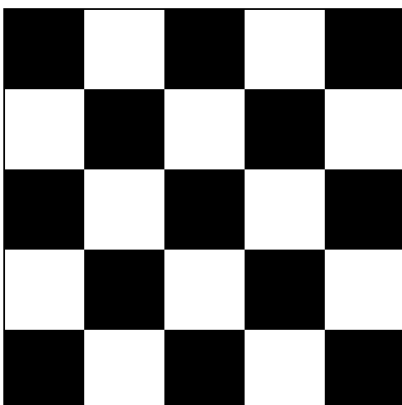
Slide credits: Noah Snavely

Corner detection summary

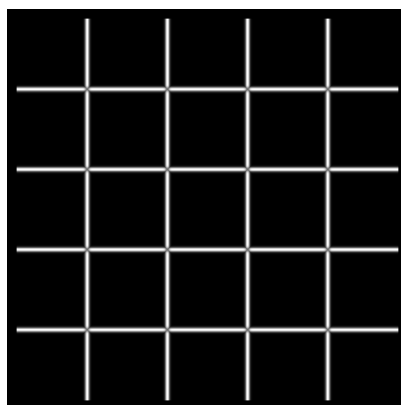


Corner detection algorithm:

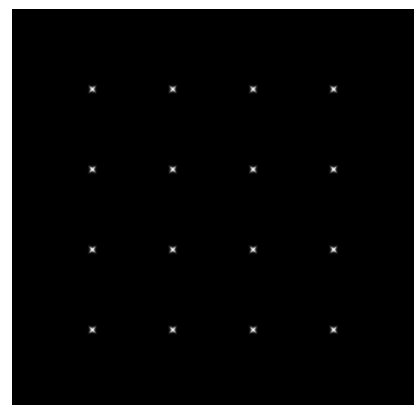
- Compute the **gradient** at each point in the image
- Create the **H** matrix from the gradient (at each desired point)
- Compute the eigenvalues $\rightarrow \lambda_{\min}, \lambda_{\max}$
- Find points with large response ($\lambda_{\min} > \text{threshold}$)
- Choose those points where λ_{\min} is a **local maximum** as features



$I(i, j)$



$\lambda_{\max}(i, j)$

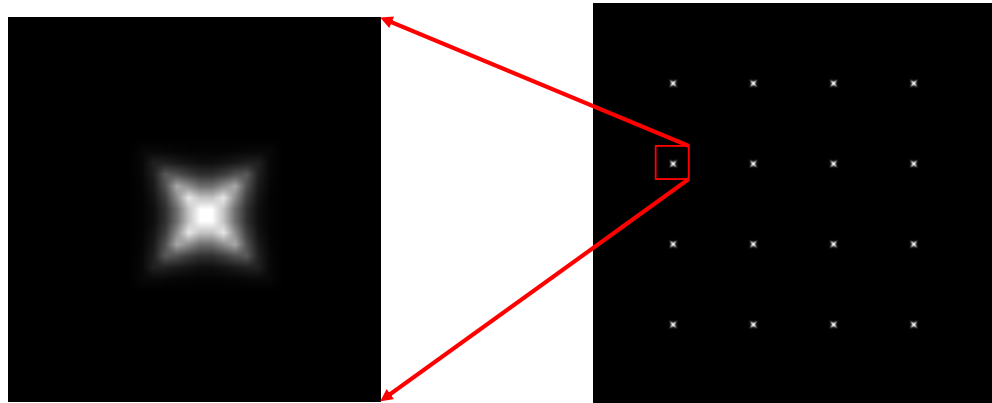


$\lambda_{\min}(i, j)$



Corner detection algorithm:

- Compute the **gradient at each point** in the image
- Create the **H** matrix from the gradient (at each desired point)
- Compute the eigenvalues → $\lambda_{\min}, \lambda_{\max}$
- Find points with large response ($\lambda_{\min} > \text{threshold}$)
- Choose those points where λ_{\min} is a **local maximum** as **features**



λ_{\min}

Slide credits: Noah Snavely

The Harris operator



"Harris operator" is a variant of λ_{\min} for feature detection

Harris corner detector:

- ❖ Definisce il parametro **response function R**:

$$R = \lambda_1 \lambda_2 - \alpha (\lambda_1 + \lambda_2)^2$$

$$\alpha = 0.05$$

si dimostra che:

$$\lambda_1 \lambda_2 = \det(\mathbf{H}) = h_{11}h_{22} - h_{21}h_{12}$$

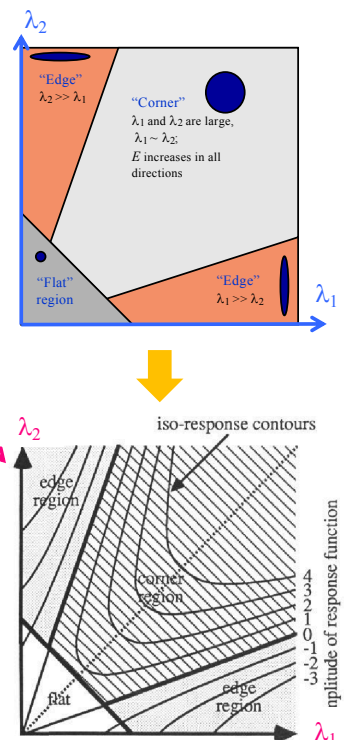
$$\lambda_1 + \lambda_2 = \text{tr}(\mathbf{H}) = h_{11} + h_{22}$$

Quindi:

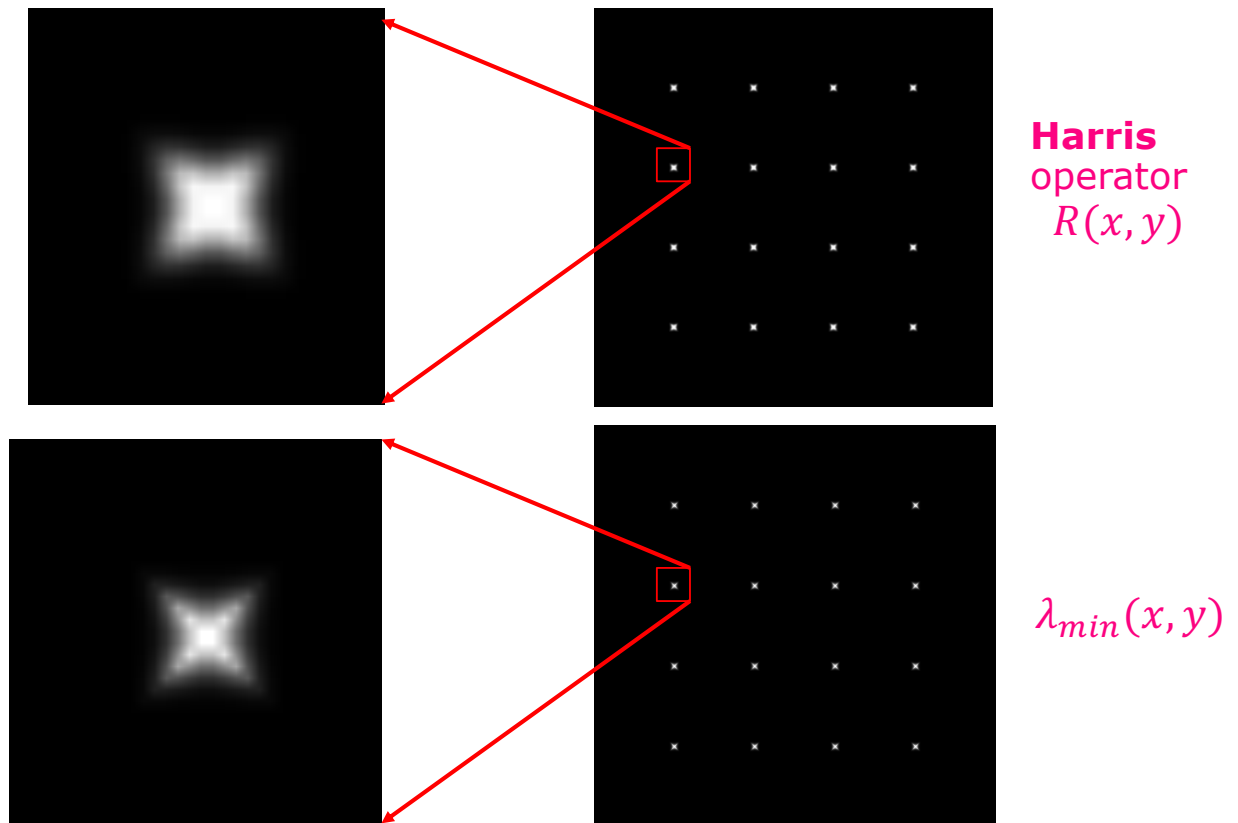
$$H = \sum_{(x,y) \in W} \begin{bmatrix} I_x^2 & I_x I_y \\ I_x I_y & I_y^2 \end{bmatrix}$$

$$R = \sum I_x^2 + \sum I_y^2 - (\sum I_x I_y)^2 - \alpha (\sum I_x^2 + \sum I_y^2)^2$$

- ❖ Risposta simile a λ_{\min} , ma calcolo molto più efficiente
- ➔ il più popolare, tra i corner detectors



C. Harris and M. Stephens (1988), A Combined Corner and Edge Detector, *Alvey Vision Conference*, 15, 1988.



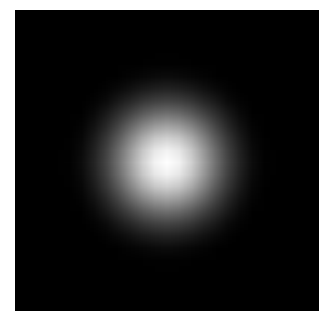
Pesatura della finestra W :

- ❖ In practice, using a simple window W doesn't work too well

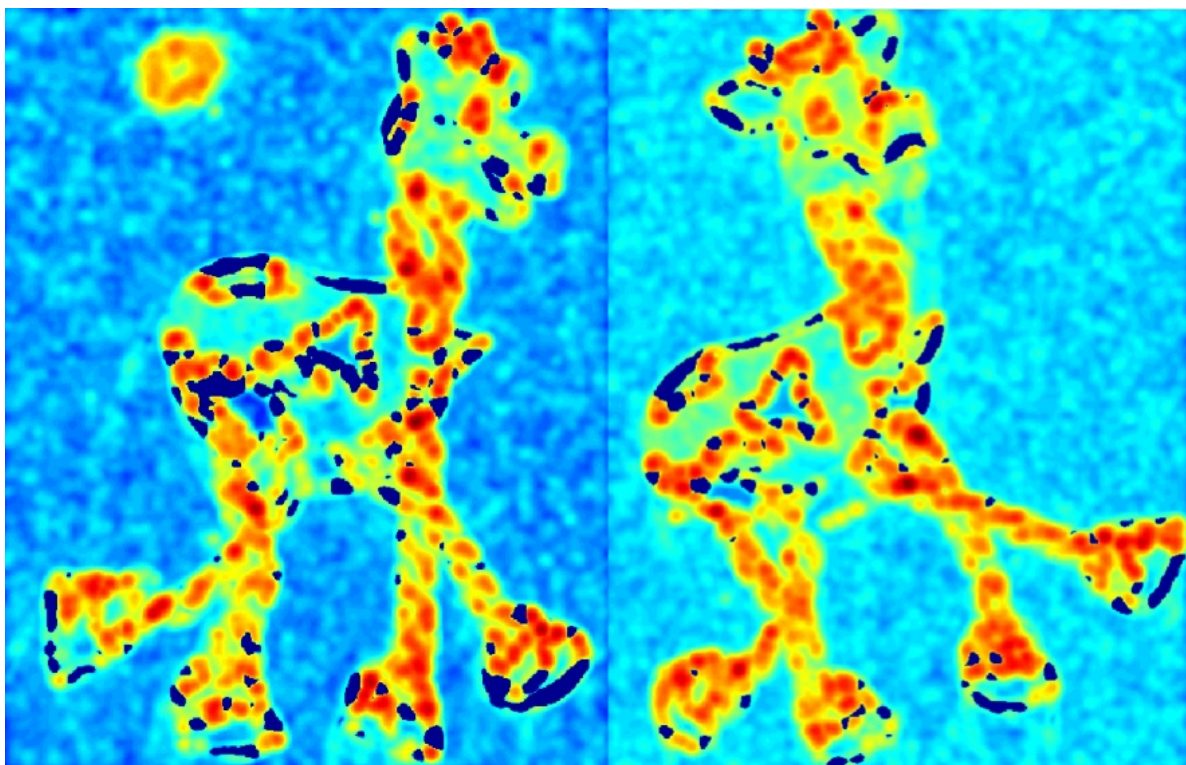
$$H = \sum_{(x,y) \in W} \begin{bmatrix} I_x^2 & I_x I_y \\ I_x I_y & I_y^2 \end{bmatrix}$$

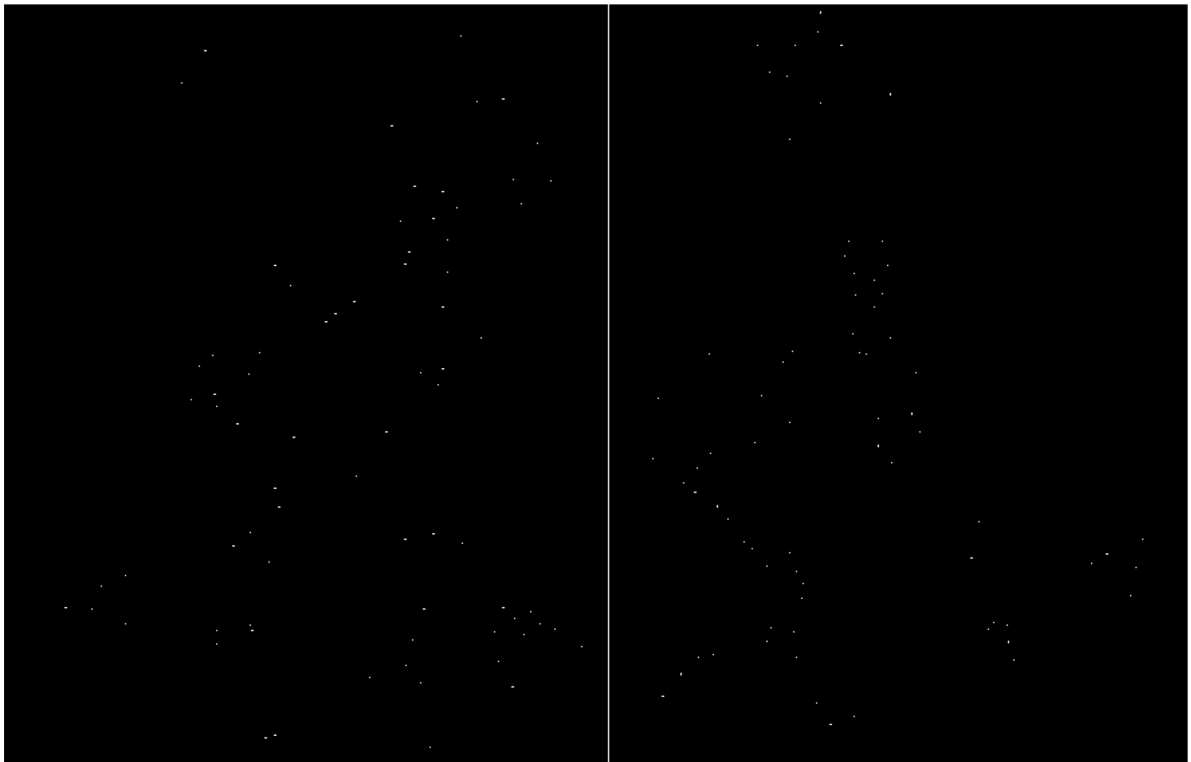
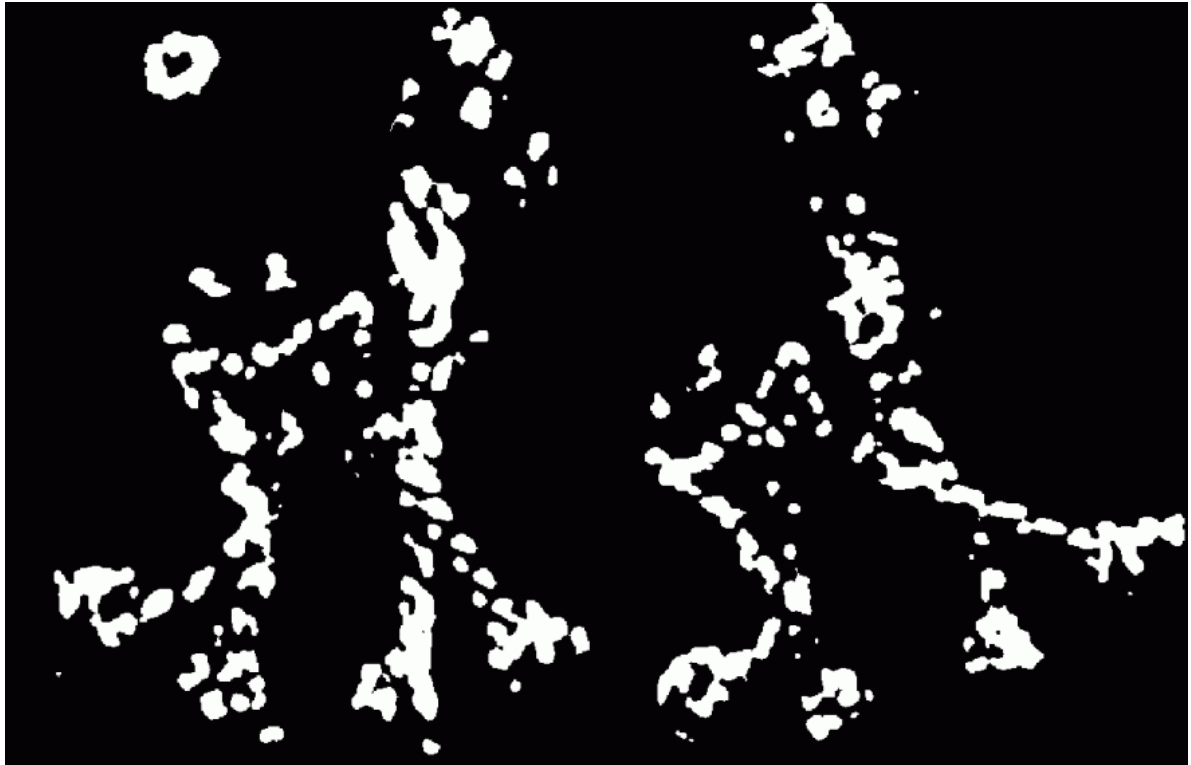
- ❖ Instead, we'll *weigh* each derivative value based on its distance from the center pixel

$$H = \sum_{(x,y) \in W} w_{x,y} \begin{bmatrix} I_x^2 & I_x I_y \\ I_x I_y & I_y^2 \end{bmatrix}$$



$w_{x,y}$

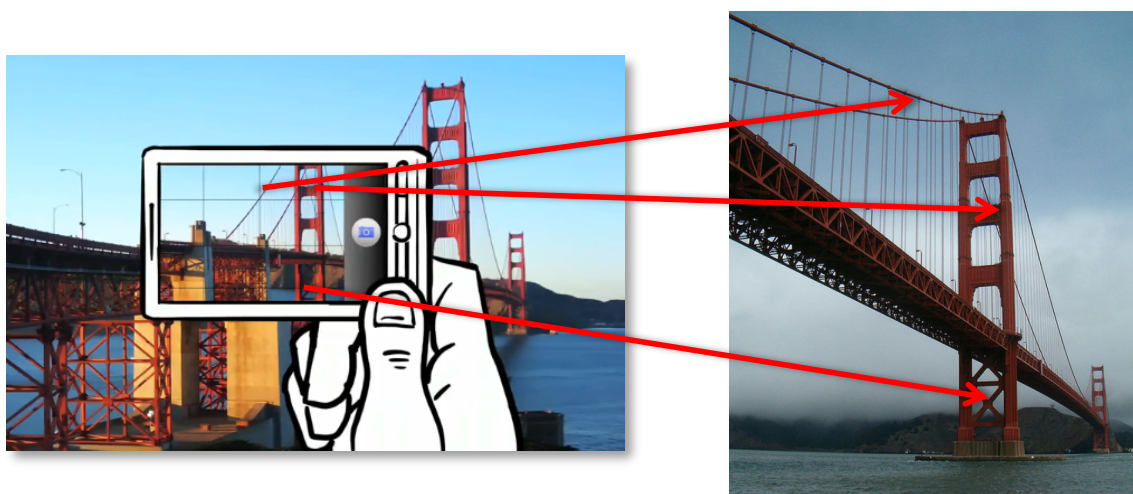






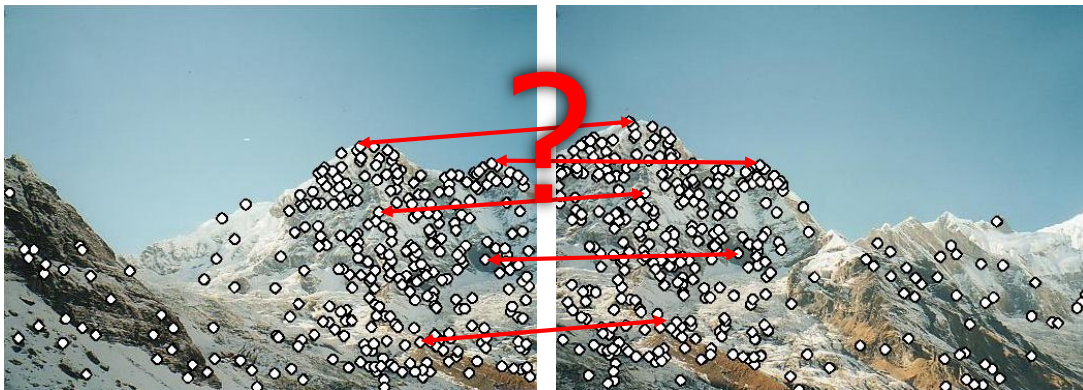
Feature matching:

- ❖ Localizzazione di particolari in un'immagine
- ❖ Riconoscimento dello stesso particolare in immagini diverse



Localizzazione → Harris corner detector

Next question: *how to match them?*



Ho bisogno di un descrittore del punto (feature descriptor) che dia:

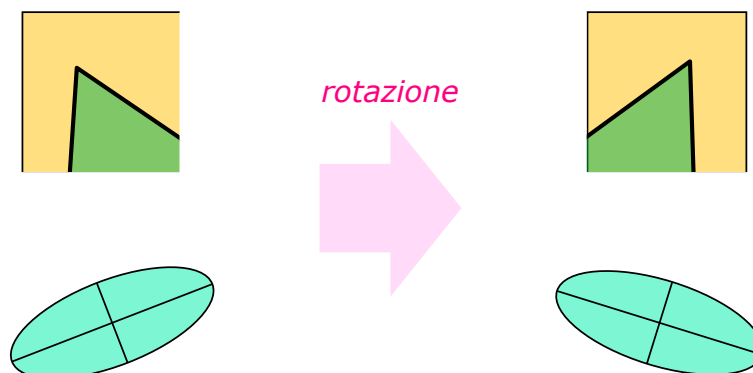
- ❖ risposte **differenti** per feature differenti
 - ❖ risposte **simili** per lo stessa feature in una **vista diversa**:
 - in immagini diverse può risultare più chiara/scura, ruotata, ingrandita/rimpicciolita
- **risposta invariante alla luminosità, alla rotazione, alla scala**

Slide credits: Noah Snavely

Harris Detector: Invariance Properties

Harris corner detector

- ❖ Proprietà rispetto alla **rotazione**



- ❖ L'ellisse ruota con l'immagine → gli autovettori ruotano, ma i suoi **autovalori non cambiano**

Harris detector: invariante alla rotazione

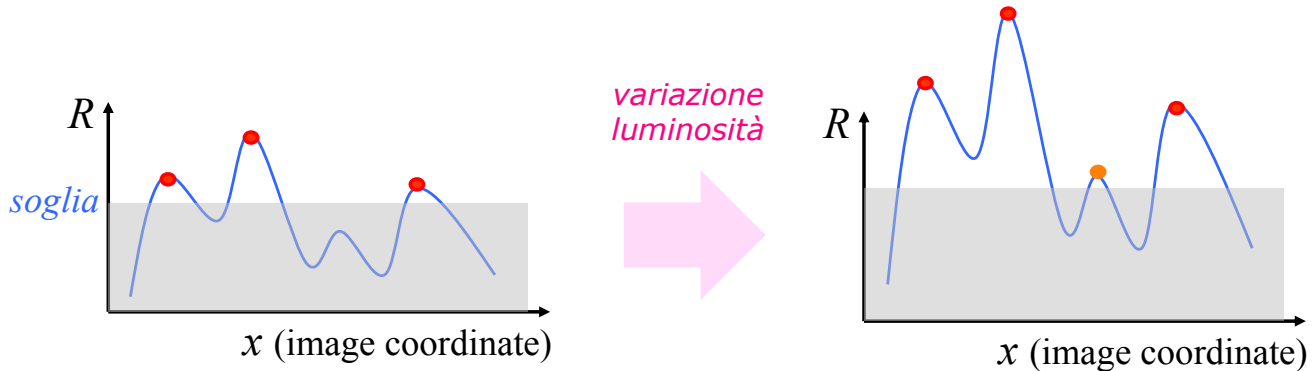
Slide credits: Noah Snavely



Variazione di **intensità luminosa**: $I' \rightarrow aI + b$

❖ Operatore di Harris: **H** è funzione delle **derivate prime**

$$\rightarrow R = f(H) \rightarrow I'_{x,y} = a I_{x,y} \rightarrow R(I') = a R(I)$$



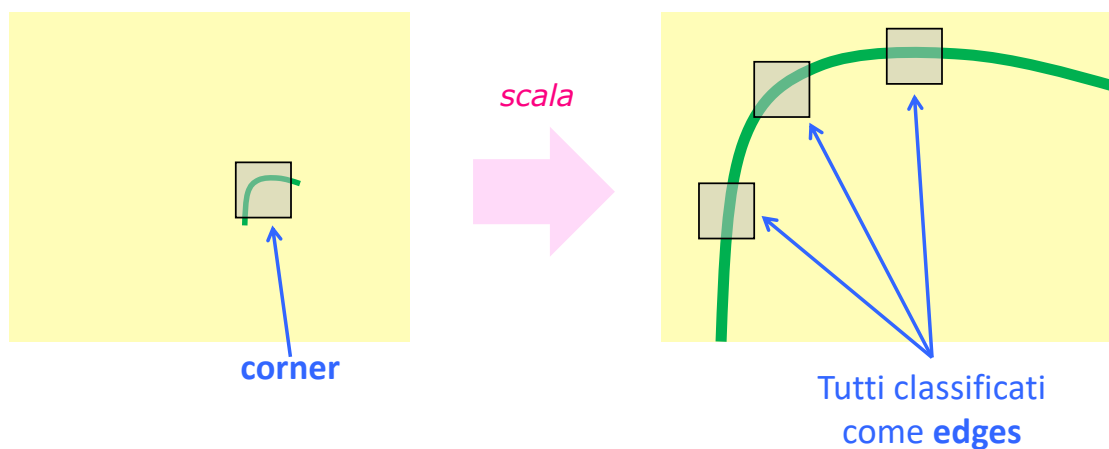
Harris: parzialmente invariante alle variazioni di intensità

Slide credits: Noah Snavely



Variazione di **scala** (es: vista ingrandita)

❖ la **localizzabilità** di un particolare **dipende dalla scala**:

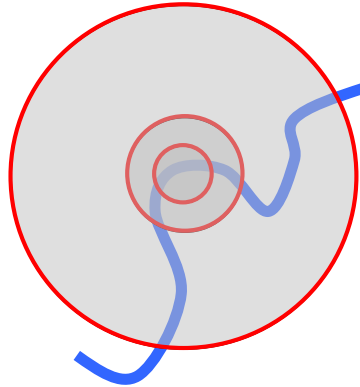


*Harris: **NON** invariante alle variazioni di **scala***

Slide credits: Noah Snavely

Scale-invariant Feature Detection

- ❖ come posso localizzare una feature, alla "sua" scala?
- ❖ qual è la scala più adatta ad una feature?



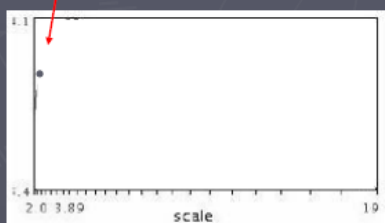
Idea: trovare la scala che fornisce il massimo valore di localizzabilità f

- ❖ massimo locale, al variare di posizione e scala
- ❖ Esempio di definizione di localizzabilità f : Harris operator

Slide credits: Noah Snavely

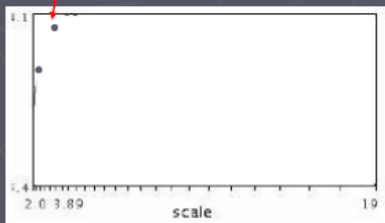
Automatic scale selection

Lindeberg et al., 1996



$$f(I_{h..l_m}(x, \sigma))$$

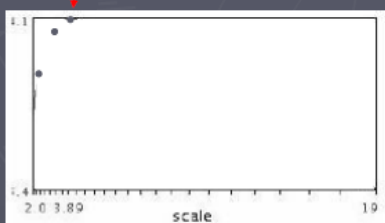
Automatic scale selection



$$f(I_{h \dots l_m}(x, \sigma))$$

Slides from Tinne Tuytelaars

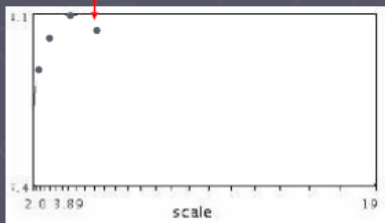
Automatic scale selection



$$f(I_{h \dots l_m}(x, \sigma))$$

Slides from Tinne Tuytelaars

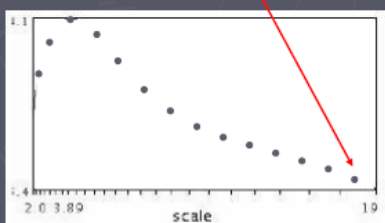
Automatic scale selection



$$f(I_{h...l_m}(x, \sigma))$$

Slides from Tinne Tuytelaars

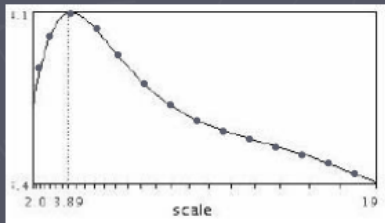
Automatic scale selection



$$f(I_{h...l_m}(x, \sigma))$$

Slides from Tinne Tuytelaars

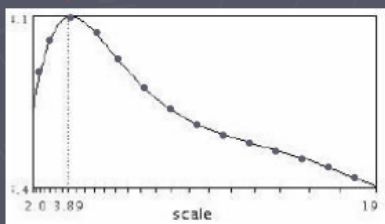
Automatic scale selection



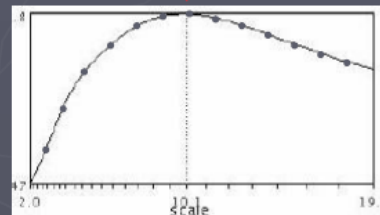
$$f(I_{h...j_m}(x, \sigma))$$

Slides from Tinne Tuytelaars

Automatic scale selection



$$f(I_{h...j_m}(x, \sigma))$$

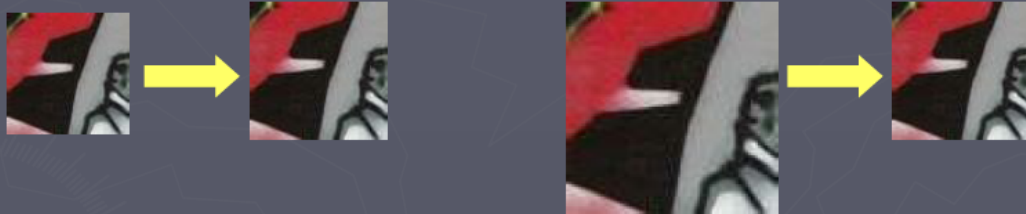


$$f(I_{h...j_m}(x', \sigma'))$$

Slides from Tinne Tuytelaars

Automatic scale selection

Normalize: rescale to fixed size



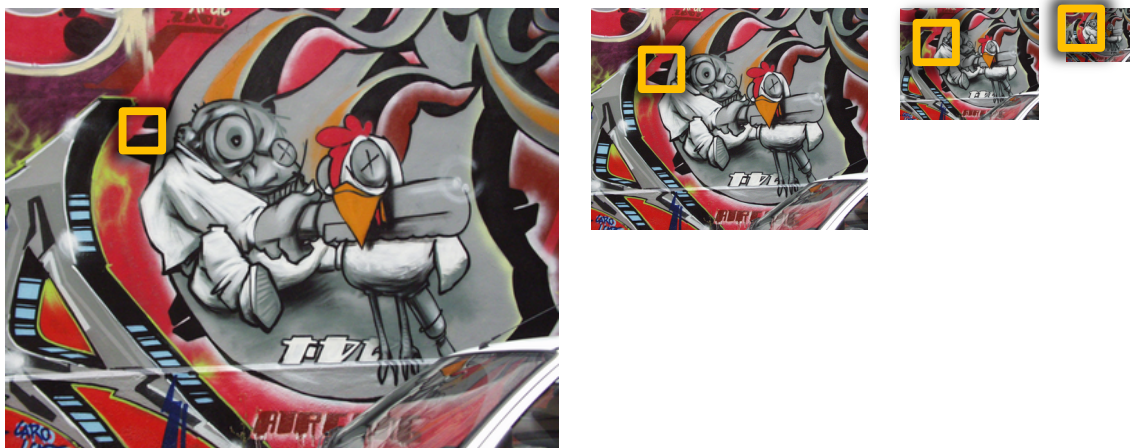
Slides from Tinne Tuytelaars

Implementation



Implementazione mediante **piramide gaussiana**

- ❖ Aniché calcolare $f(W)$ su finestre W sempre più grandi, si può utilizzare una finestra W di **dimensione fissa**, su immagini progressivamente scalate (piramide gaussiana)



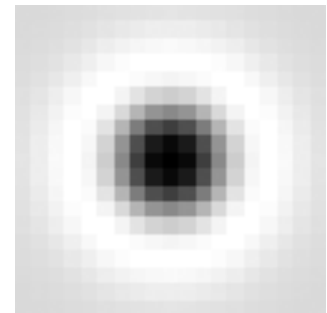
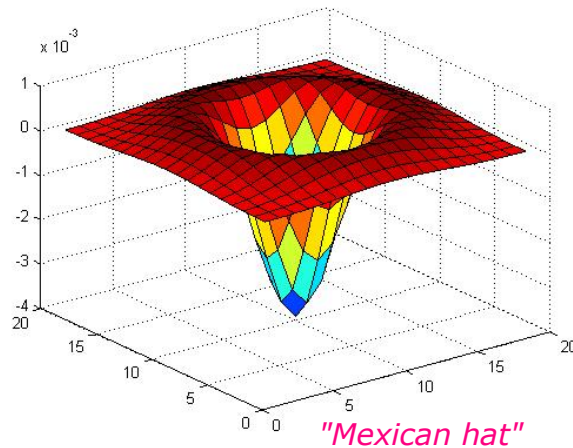
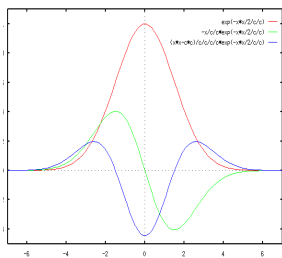
Slides from Tinne Tuytelaars



Feature detector alternativi a Harris: Laplacian of Gaussian (LoG)

$$g(x, y, \sigma) = \frac{1}{2\pi\sigma^2} e^{-\frac{x^2+y^2}{2\sigma^2}} \Rightarrow$$

$$\nabla^2 g = \frac{\partial^2 g}{\partial x^2} + \frac{\partial^2 g}{\partial y^2}$$



Slide credits: Noah Snavely



Feature detector alternativi a Harris: Laplacian of Gaussian (LoG)

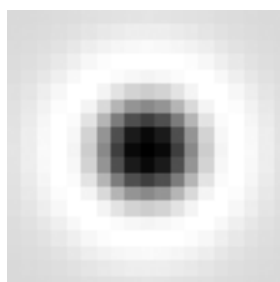
Vantaggio: più semplice ed efficiente di Harris

Corner/blob detector:

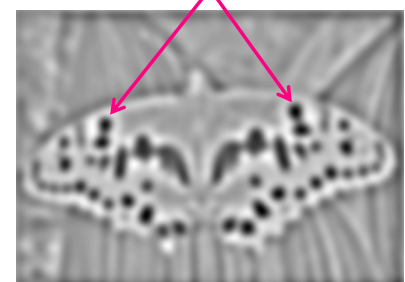
- ❖ Filtraggio immagine con **LoG**: $L_\sigma(x, y) = I(x, y) * \nabla^2 g(x, y, \sigma)$
- ❖ Corner \rightarrow minimi locali di $L_\sigma(x, y)$



*



=

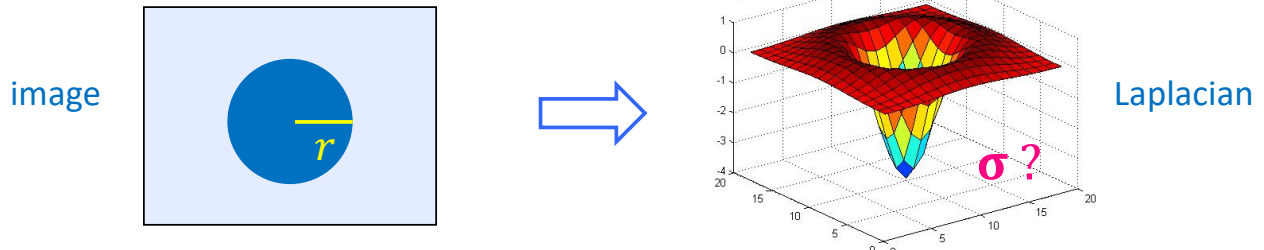


Slide credits: Noah Snavely



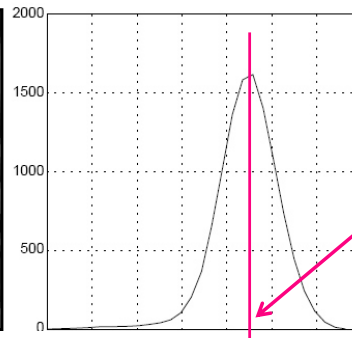
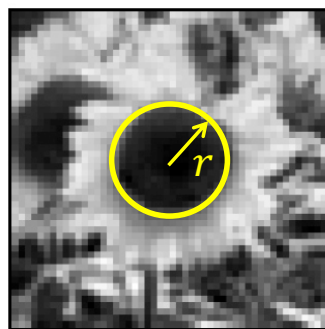
Selezione della scala

- ❖ Data la dimensione di una feature, a che **scala** σ LoG produce la risposta ottima?
Es: rivelazione ottima di un cerchio di **raggio** r



Scala caratteristica: la scala che produce la **risposta massima** del LoG

T. Lindeberg (1998).
Feature detection with
automatic scale selection.
*International Journal of
Computer Vision* 30 (2)
pp 77–116, 1998.



Scala caratteristica:

$$\sigma \approx \frac{r}{\sqrt{2}}$$

Slide credits: Noah Snavely

Scale-invariant feature detection



Esempio: **blob detection**

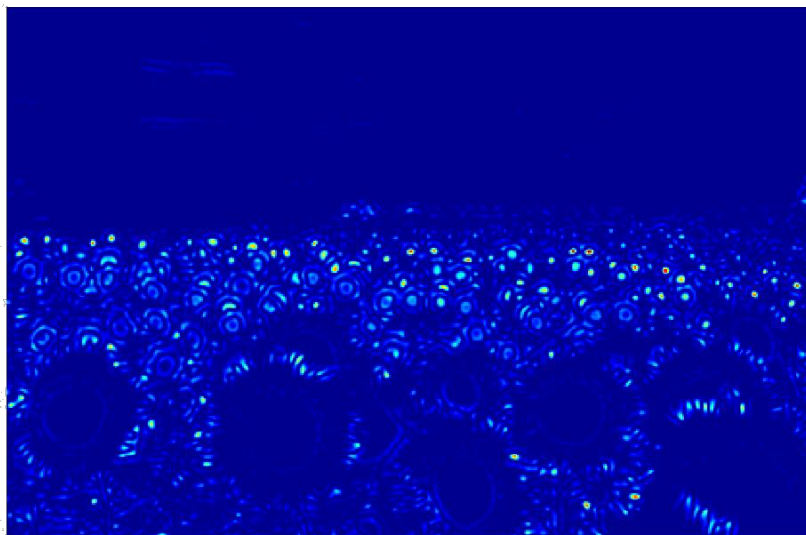
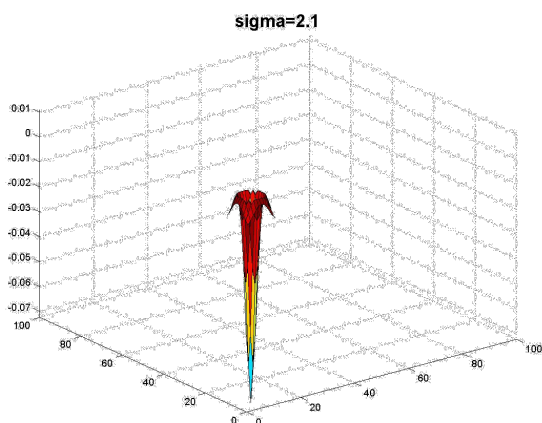
Original image





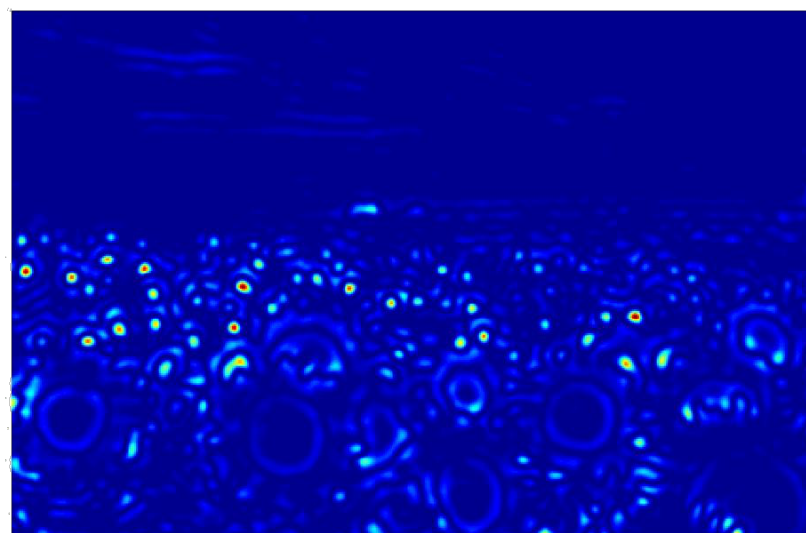
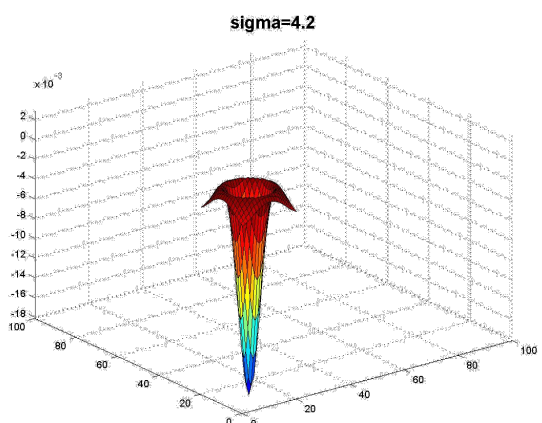
Esempio: blob detection

Filtraggio con **LoG**: $\sigma = 2.1$



Esempio: blob detection

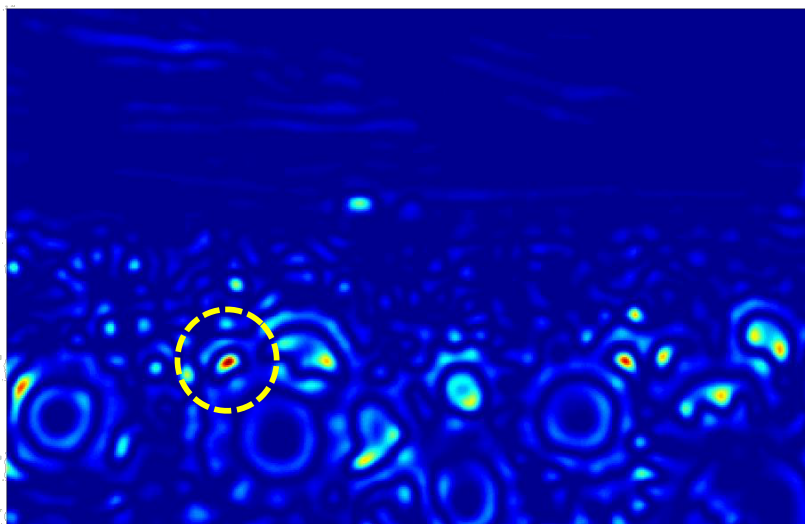
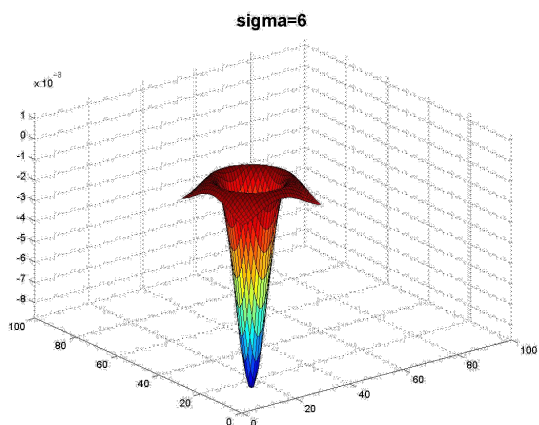
Filtraggio con **LoG**: $\sigma = 4.2$





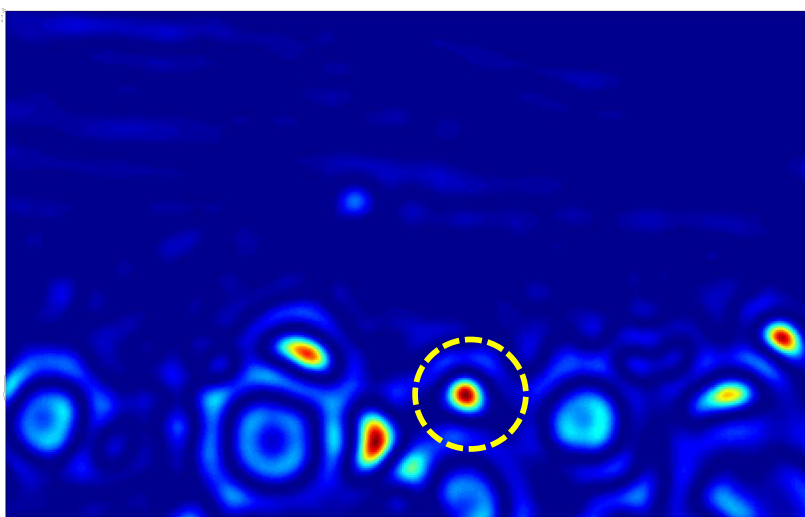
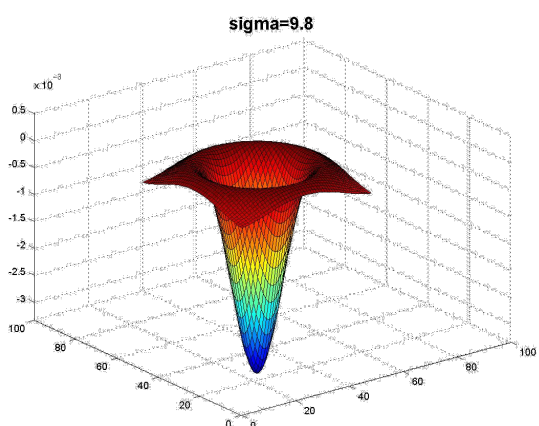
Esempio: blob detection

Filtraggio con **LoG**: $\sigma = 6$



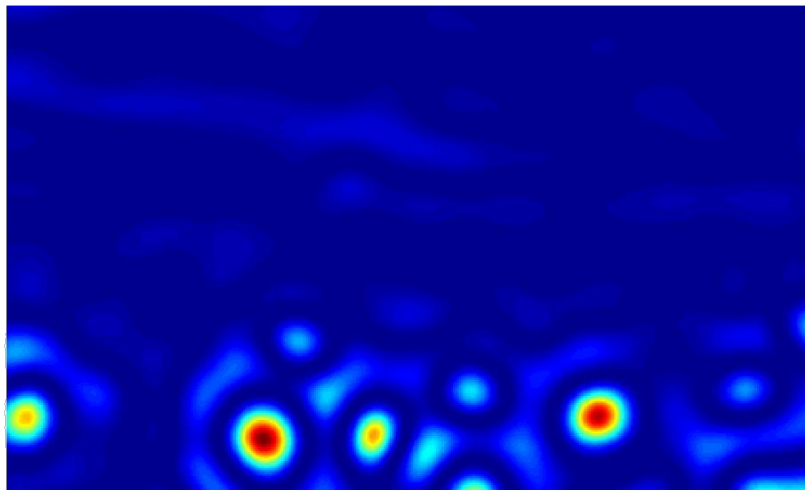
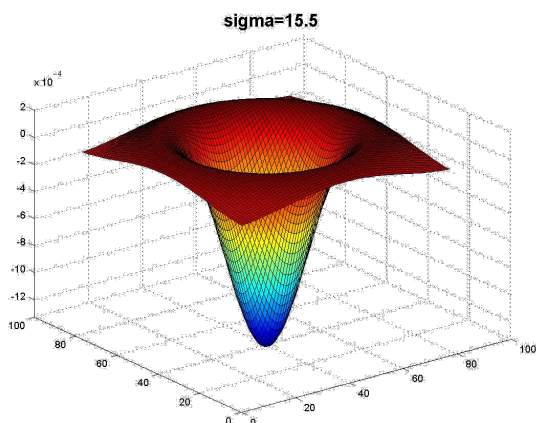
Esempio: blob detection

Filtraggio con **LoG**: $\sigma = 9.8$



Esempio: blob detection

Filtraggio con **LoG**: $\sigma = 15.5$



Difference of Gaussians (DoG)

- ❖ il filtro **LoG** può essere ben approssimato da una differenza di due Gaussiane con σ **differente**

Laplacian of Gaussian:

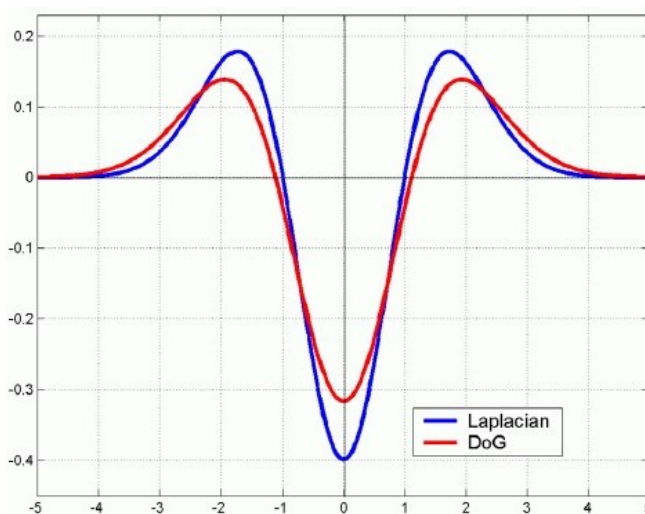
$$LoG = \sigma^2 \left(\frac{\partial^2 g(x, y, \sigma)}{\partial x^2} + \frac{\partial^2 g(x, y, \sigma)}{\partial y^2} \right)$$

Difference of Gaussian (DoG):

$$DoG = g(x, y, k\sigma) - g(x, y, \sigma)$$

Vantaggi:

- ❖ **DoG** è più semplice → computazionalmente **più efficiente**

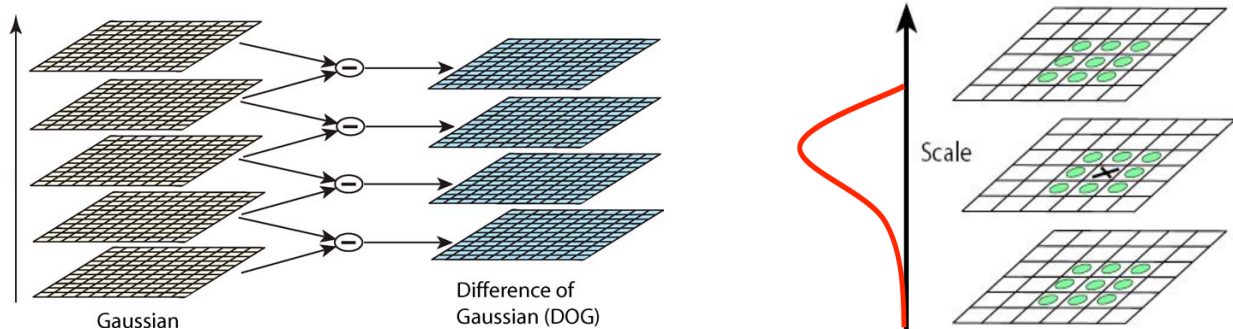


SIFT – Scale-Invariant Feature Transform [Lowe 2004]

Tecnica di feature detection invariante al punto di osservazione

SIFT method:

- ❖ Costruzione efficiente dello *scale space* (Gaussian pyramid → DOG)
- ❖ Ricerca features (*keypoints*) nello spazio (x, y, σ) (DOG)
- ❖ Caratterizzazione di ogni feature in uno spazio a 32-128 dimensioni



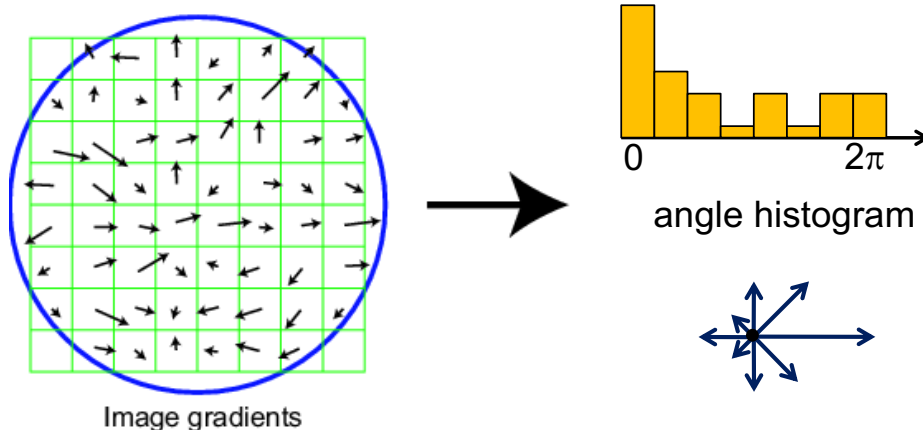
David G. Lowe. **Distinctive image features from scale-invariant keypoints.** *Int. J. Computer Vision*, 60 (2), pp. 91-110, 2004.

Adapted from slide by David Lowe

Adapted from slide by David Lowe

SIFT method (continua):

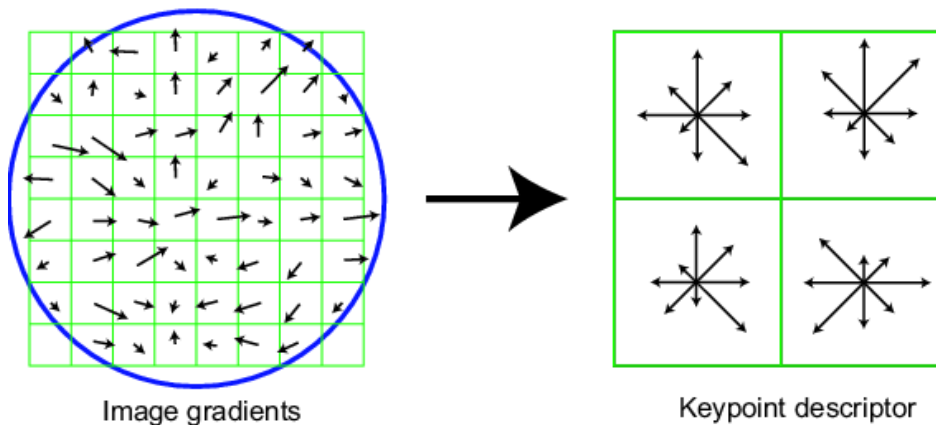
- ❖ Considero una finestra 8x8 (16x16) centrata sulla feature
- ❖ Calcolo *orientazione dell'edge* (dir. gradiente – 90°) di ogni pixel
- ❖ Eliminazione edge "deboli" (sogliatura del modulo del gradiente)
- ❖ Calcolo istogramma delle *orientazioni degli edge* superstiti (pesando i contributi con una finestra gaussiana centrata sulla feature)



David G. Lowe. **Distinctive image features from scale-invariant keypoints.** *Int. J. Computer Vision*, 60 (2), pp. 91-110, 2004.

SIFT method (continua):

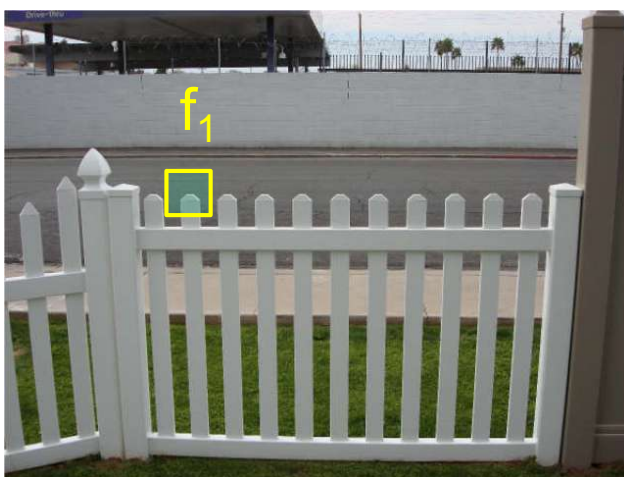
- ❖ Suddivisione della finestra 8x8 (16x16) in una griglia di 2x2 (4x4) celle
- ❖ Calcolo dell'istogramma delle orientazioni per ogni cella
 - Ogni cella corrisponde a 4x4 pixel della finestra originaria
 - Le direzioni sono ruotate rispetto alla orientazione del keypoint (**invarianza alla rotazione**)
- ❖ 4 (16) celle * 8 orientazioni → descrittore a 32 (128) dimensioni
 - il descrittore viene **normalizzato a lunghezza unitaria** (**invarianza all'illuminazione**)



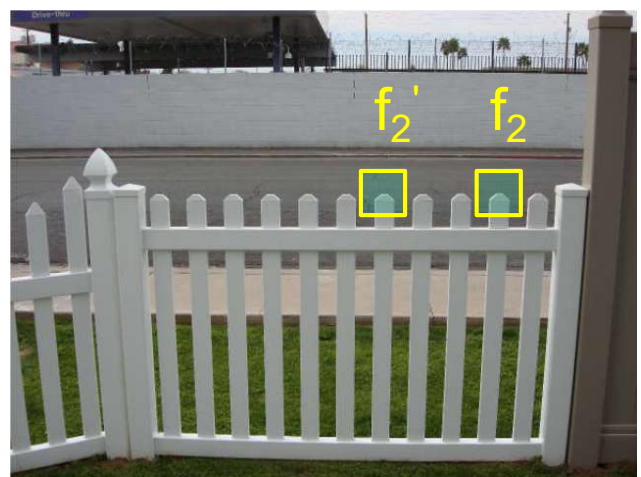
Gestione delle ambiguità

Gestione delle **ambiguità di matching**

- ❖ Come decidere i casi ambigui?
- Calcolo **la somiglianza (SSD)** delle finestre candidate al match
 - f_2 is best SSD match to f_1 in I_2
 - f_2' is 2nd best SSD match to f_1 in I_2
 - f_2'/f_2 fornisce **valori alti per match ambigui**



I_1



I_2

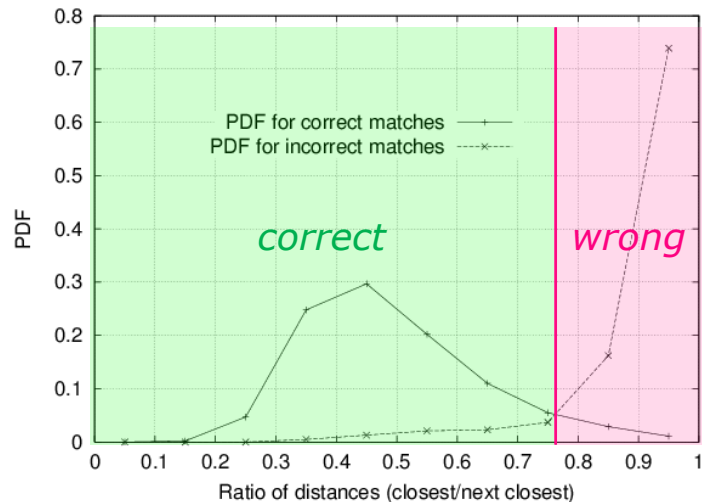
Se ho **più candidati**, come determinare il **match corretto**?

→ un match corretto ha una somiglianza (SSD) **molto maggiore** di quelli errati

Idea: confronto tra la somiglianza del **miglior candidato al match** e quella del **secondo miglior candidato**

$$\text{Ratio} = \frac{\text{SSD}(\text{best match})}{\text{SSD}(\text{2}^{\text{nd}} \text{ best match})}$$

- ❖ **Low ratio**
→ probabile match corretto
- ❖ **High ratio**
→ probabile ambiguità
- ❖ **Threshold $T = 0.8$**
provides good separation



SIFT

SIFT: prestazioni

Tecnica di riconoscimento (e matching) di features molto robusta

- robusta ai cambi di prospettiva
- robusta alle differenze di illuminazione
- *Fast and efficient (can run in real time)*

http://people.csail.mit.edu/albert/ladypack/wiki/index.php/Known_implementations_of_SIFT

